

Mestrado em Engenharia Informática
Dissertação
Relatório Final

Otimização de Programas em Runtime na Plataforma Aeminium

Cristiano Filipe Matos Gonçalves
matos@student.dei.uc.pt

Orientador:
Doutor Bruno Cabral
Mestre Alcides Fonseca
Data: 3 de Julho de 2013



FCTUC DEPARTAMENTO
DE ENGENHARIA INFORMÁTICA
FACULDADE DE CIÊNCIAS E TECNOLOGIA
UNIVERSIDADE DE COIMBRA

Resumo

Na última década assistiu-se a um desaparecimento gradual dos processadores de um único *core*, sendo estes progressivamente substituídos por *multicores*. Este desenvolvimento tecnológico urgiu a necessidade de serem estabelecidas novas adaptações pelos programadores, uma vez que têm que deixar de “pensar” sequencial para “pensar” em paralelo. Com a finalidade de facilitar a criação de código paralelo, foram criadas várias ferramentas – compiladores, *runtimes*, *frameworks* e bibliotecas, que rentabilizam o tempo de criação de código e ajudam a evitar problemas inerentes a este tipo de programação.

O projeto Aeminium pretende a criação de uma linguagem de programação que seja concorrente por omissão. Escreve-se código sequencial e o compilador Aeminium fazendo uso de métodos automáticos gera código JAVA paralelo, já com tarefas e suas dependências, para depois ser executado pelo *runtime* do Aeminium em paralelo.

Infelizmente, alguns programas quando compilados e executados na *framework* Aeminium, apresentam uma diminuição de performance comparativamente com a sua versão sequencial. Neste estágio propôs-se validar três hipóteses relacionadas com a performance desta *framework* ao nível do *runtime*:

1. Um escalonamento mais equilibrado das tarefas em execução trará melhorias na performance;
2. Modificar o nível de paralelismo entre as tarefas em execução de acordo com a carga e capacidade do sistema trará melhorias de performance;
3. O controlo da granularidade das tarefas em execução e, consequentemente, do número de tarefas a executar trará melhorias de performance.

Para validar a primeira hipótese, foi proposto a implementação de uma política de inserção que tentasse balancear a inserção de tarefas. Conseguindo-se assim, um aumento de performance até 20%. Na segunda hipótese, foi proposto auxiliar a decisão de paralelização, com informação de várias filas de execução em vez de apenas uma. Obtendo-se aumentos de performance até 55% em algumas das políticas. Por último, foi proposto a criação de um módulo de agregação de tarefas para validar a terceira hipótese. Esta implementação atingiu aumentos de performance até 30%. Através da implementação das hipóteses apresentadas, tentou-se obter os valores óptimos da sua utilização e extracção de possíveis políticas de optimização a implementar em *runtimes*.

Palavras-Chave

Computação paralela, *runtimes* baseados em tarefas, políticas de otimização em *runtimes*, otimização no *scheduler*.

Agradecimentos

Para a conclusão deste estágio foi necessário um grande número de sugestões, comentários e críticas. Sendo estes pontos imprescindíveis para a melhoria possível do presente documento.

Assim, gostava de agradecer ao Professor Doutor Bruno Cabral, por todo o apoio prestado no decorrer do estágio, pois sem ele o estágio não teria chegado a este ponto.

Outro agradecimento especial para o Mestre Alcides Fonseca pela sua disponibilidade em me auxiliar sempre que necessitei.

Um agradecimento aos meus colegas do projecto Aeminium.

Índice

1 Introdução	8
1.1 Motivação.....	8
1.2 Contexto do Estágio.....	9
1.2.1 Aeminium	9
1.2.2 Limitações do Compilador Aeminium.....	10
1.3 Objetivos	10
1.4 Contribuições.....	10
1.5 Estrutura da proposta de estágio	11
2 Conceitos de base e estado da Arte	12
2.1 Concorrência.....	12
2.2 Escalonamento	12
2.3 Abordagens na programação concorrente	13
2.3.1 Abordagem com concorrência explícita.....	13
2.3.2 Abordagem com concorrência implícita	13
2.4 Paralelização automática	14
2.4.1 Linguagens paralelas por defeito.....	14
2.4.2 Linguagens sequenciais executadas em paralelo	15
2.5 Retirar paralelismo de código sequencial.....	17
2.5.1 DOALL	17
2.5.2 DOACROSS.....	18
2.5.3 PIPELINE	18
2.6 Otimizações em runtime.....	18
2.6.1 JIT Just-In-Time compiler	19
2.6.2 Thread-level Speculation	19
3 Conhecimentos base sobre a plataforma Aeminium.....	21
3.1 Utilização do runtime Aeminium	21
3.2 Funcionamento interno.....	25
3.2.1 Estados das tarefas	25
3.2.2 Arquitectura do Aeminium Runtime.....	26

3.2.3 Sequência de eventos no escalonamento de tarefas	26
3.2.4 Classes fundamentais	27
4 Validação do problema e identificação das questões de investigação	29
4.1 Setup experimental.....	29
4.1.1 Hardware	29
4.1.2 Ferramenta de estudo do comportamento - Jprofiler.....	29
4.1.3 Medição do tempo de execução	30
4.2 Número e dimensão das tarefas.....	30
4.3 Implementação de um profiler.....	33
4.4 Hipóteses a investigar.....	38
5 Otimização no escalonador	41
5.1 Hipótese	41
5.2 Abordagem.....	41
5.3 Resultados	42
6 Otimização da decisão de paralelizar	45
6.1 Hipótese	45
6.2 Abordagem.....	45
6.3 Resultados	46
7 Módulo para efetuar agregação de tarefas	50
7.1 Hipótese	50
7.2 Abordagem.....	50
7.3 Resultados	52
8 Plano de trabalhos e implicações	55
8.1 Planeamento e metodologias.....	55
8.1.1 Planeamento anual	55
8.2 Equipa.....	57
8.3 Riscos.....	57
9 Conclusão.....	58
10 Trabalho futuro	60
Referências.....	61
Anexos.....	63

Lista de Figuras

Fig. 1 - Arquitectura do Aeminium. Fonte: [23]	9
Fig. 2 - Exemplo do Fibonacci em Cilk. Fonte: [27]	15
Fig. 3 - Funcionamento do JAVAR. Fonte: [26]	16
Fig. 4 - Exemplo DOALL a)Programa Original b)programa paralelizado. Fonte: [14]	17
Fig. 5 - Tarefa, Body e dependência.....	22
Fig. 6 – Estados das tarefas.....	25
Fig. 7 - Arquitectura do Aeminium Runtime.....	26
Fig. 8 - Tempo de execução DOALL com for até 5000	31
Fig. 9 - Tempo de execução DOALL com for até 5000, 10000 e 15000.....	32
Fig. 10 - Código manual vs código do compilador	33
Fig. 11 - Total de tarefas executadas por worker	35
Fig. 12 - Total de steals executados por worker.....	36
Fig. 13 - Total de tarefas inseridas por worker.....	37
Fig. 14 - Total de tarefas por origem	38
Fig. 15 - <i>Cluster</i> de tarefas.....	40
Fig. 16 - Tempo de execução com e sem otimização no scheduler	43
Fig. 17 - Speedup com e sem otimização no scheduler	44
Fig. 18 - Mergesort com várias decisões de paralelizar.....	47
Fig. 19 - Kdtree com várias decisões de paralelizar	48
Fig. 20 - Arquitetura do runtime com otimizador	50
Fig. 21 - Variação do valor mínimo para efetuar merge em código manual.....	53
Fig. 22 - Variação do valor mínimo para efetuar merge em código gerado pelo compilador .	54
Fig. 23 - Diagrama de Gantt anual	56
Fig. 24 - Diagrama de sequência antes do escalonamento da tarefa	63
Fig. 25 - Diagrama de sequência depois do escalonamento da tarefa	64
Fig. 26 - Diagrama de classes do Aeminum Runtime.....	65
Fig. 27 - Diagrama de sequência antes do escalonamento da tarefa (otimização com falhas)	66

Fig. 28 - Diagrama de sequência depois do escalonamento da tarefa (otimização com falhas)	67
Fig. 29 - Output do profiler implementado no Aeminium Runtime	68

Lista de tabelas

Tabela 1 - Glossário	6
Tabela 2 - Acrónimos	7

Glossário

Bytecode	É um código intermédio entre o código fonte e a aplicação final. Diferente do código máquina este necessita ser interpretado numa máquina virtual para ser executado
Deadlock	Quando duas ou mais <i>threads</i> estão à aguardando umas pelas outras por alguma ação ou recurso
Debug	Processo para pesquisa de erros durante a execução de um determinado programa
Multicore	Processador com várias unidades de processamento – chamada “core”
Overhead	Uso de um recurso (armazenamento ou processamento) em excesso, para se executar uma determinada tarefa. Uma das consequências é piorar o desempenho. Normalmente o seu uso tem como objetivo
Profiler	É uma forma de análise dinâmica de programas, com o intuito de medir variáveis relacionadas com o programa em execução (ex: memória, uso de determinadas funções, etc). O uso da informação coletada tem como objetivo a otimização de programas.
Race conditions	Quando várias <i>threads</i> ou processos competem pelo mesmo recurso
Runtime	Software que suporta a execução de programas
Speedup	Velocidade de um algoritmo paralelo em relação ao seu sequencial (quantas vezes o algoritmo paralelo é mais rápido que o sequencial)
Starvation	Acontece quando uma <i>thread</i> espera que um evento ocorra ou que outra <i>thread</i> liberte um lock
Thread	Fluxo de execução num processo
Throughput	Quantidade de dados transferidos ou quantidade de dados processados em um determinado espaço de tempo

Tabela 1 - Glossário

Tabela de Acrónimos

CISUC	<i>Center for Informatics and Systems of the University of Coimbra</i>
CMU	<i>Carnegie, Mellon, University</i>
DAG	<i>Directed, Acyclic, Graph</i>
I/O	<i>Input, Output</i>
JIT	<i>Just, In, Time</i>
JVM	<i>Java, Virtual, Machine</i>
MPI	<i>Message, Passing, Interface</i>

Tabela 2 - Acrónimos

Capítulo

1 Introdução

Este capítulo faz uma introdução ao contexto em que o estágio se encontra inserido, as principais motivações, objetivos e contribuições esperadas. No final é apresentada uma proposta para a estrutura deste documento.

1.1 Motivação

O mercado rumou de processadores de um *core* para *multicores*, pois já não é viável [1] melhorar a performance dos primeiros. Isto, devido às capacidades dos materiais utilizados na sua construção não resistir a temperaturas mais elevadas e não ser prático a inclusão de componentes de arrefecimento mais potentes em máquinas domésticas. Além dos problemas mencionados associam-se ainda alguns problemas relacionados com o consumo [8] e perdas de energia. Este cenário tornou-se um enorme problema para os programadores, já que estes novos processadores permitem computação paralela e os torna complexos de programar. Para que se possa tirar o máximo partido de todos os processadores, o *software* deve estar escrito de forma paralela, ou seja, as tarefas (instruções a ser executadas) que não são dependentes, podem e devem, ser executadas ao mesmo tempo, em diferentes processadores. Mas, para isso os programadores necessitam [8] de lidar com as comunicações, memória partilhada e sincronização, o que pode levantar vários problemas, criando custos mais elevados para as empresas. O atual desafio é, em suma, encontrar soluções/ferramentas que permitam facilitar este trabalho.

A *framework* Aeminium vem colmatar esta necessidade, habilitando o programador a escrever código sequencial que depois é automaticamente paralelizado. No entanto, verifica-se uma diminuição de performance de certos programas paralelizados nesta *framework* comparativamente com a sua versão sequencial. Esta situação ocorre devido à dificuldade de identificar o número mais adequado de tarefas concorrentes, a dimensão das tarefas, utilização de dependências, tipo da própria tarefa (*I/O* ou *CPU Bound*), balanceamento das tarefas por processador e decisão de paralelizar ou sequencializar o código em execução. Existe assim uma necessidade de obter as soluções óptimas – criação de políticas de optimização, para as características citadas e a partir destas desenvolver-se um módulo de optimização de programas para o *runtime* Aeminium que maximize a performance em função do *hardware* disponível.

1.2 Contexto do Estágio

Este estágio está integrado no projeto “Aeminium – Freeing Programmers from the Shackles of Sequentially” que tem como objetivo a implementação de uma *framework* de desenvolvimento de aplicações paralelas. O projeto Aeminium é financiado pelo programa CMU|Portugal e resulta de uma parceria entre a Universidade de Carnegie Mellon nos Estados Unidos da América, Universidade de Coimbra, Universidade da Madeira e a empresa Novabase, em Portugal. Em Coimbra os trabalhos decorrem nos laboratórios do CISUC no grupo de “Software and Systems Engineering”.

1.2.1 Aeminium

A ideia principal do projeto Aeminium é a criação de uma linguagem de programação concorrente por omissão e respectiva *framework*. Esta *framework* é constituída por dois componentes principais: compilador e *runtime*. A investigação levada a cabo no CISUC mostrou não ser necessário uma linguagem de programação dedicada para se obter paralelismo implícito. Assim, a equipa Aeminium da UC desenvolveu um compilador (J2JPar) que traduz JAVA sequencial para uma versão altamente paralela compatível com o *runtime* Aeminium. A figura 1 apresenta o funcionamento geral desta *framework*.

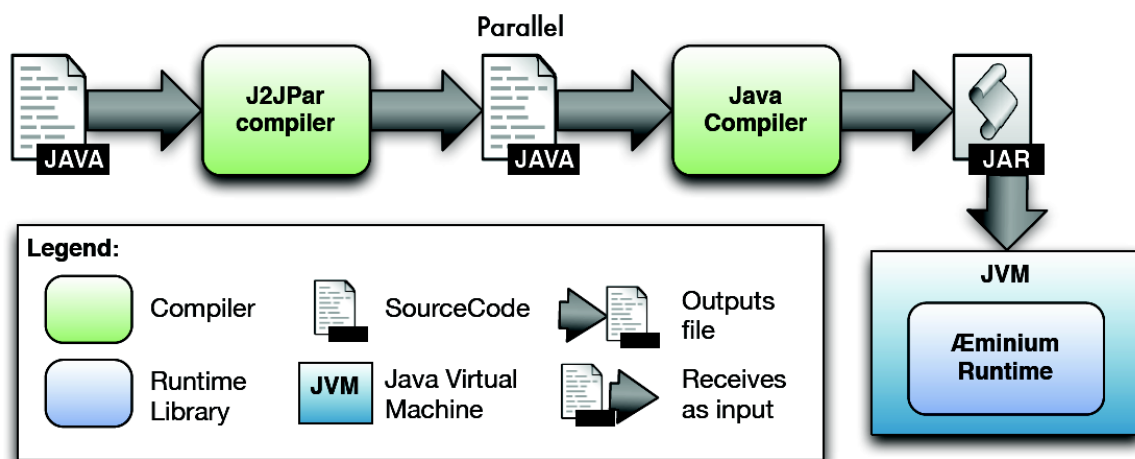


Fig. 1 - Arquitectura do Aeminium. Fonte: [23]

O funcionamento pode ser resumido a três passos:

1. O compilador J2JPar traduz o código fonte em JAVA sequencial para código JAVA paralelo, já com tarefas e suas dependências;

2. O compilador JAVA compila o código JAVA para *bytecode*, enquanto verifica conformidade com a interface da biblioteca do *runtime* Aeminium;
3. O *bytecode* JAVA é executado na *Java Virtual Machine* e utiliza através de chamadas a biblioteca do *runtime* Aeminium.

1.2.2 Limitações do Compilador Aeminium

O compilador JAVA tem como objetivo fazer a análise lexical (dividir o programa em *tokens*), *parsing* (dependências existentes no código) e semântica (detetar inconsistências).

Por sua vez, o compilador Aeminium tem como principal função a criação das tarefas e suas dependências. Um dos problemas verificado é que este cria tarefas para quase tudo o que existe no código. Por exemplo, num ciclo “for de $i=0$ até $i<100$ ”, este pode criar 100 tarefas, uma para cada iteração, mesmo que cada iteração faça apenas um simples cálculo. Esta criação exagerada de tarefas pode levar a um decréscimo de performance, uma vez que existe *overhead* na criação das tarefas, podendo não ser compensatória a criação de uma tarefa para cada operação.

Independentemente do código a ser executado no *runtime* Aeminium ter sido criado pelo seu compilador ou por um humano, surge aqui uma oportunidade para se poder otimiza-lo. Estas oportunidades podem surgir tanto pelo número elevado ou reduzido de tarefas, dimensão das tarefas, distribuição de carga pelos *cores*, escalonamento das tarefas, utilização das dependências ou distribuição do I/O pelas tarefas.

1.3 Objetivos

Os objetivos deste estágio são:

- Compreender e descrever os problemas de performance na execução de programas paralelos no *runtime* Aeminium;
- Realizar experiências, recolher e analisar dados de forma a perceber que políticas devem ser implementadas por um otimizador de programas para o *runtime* Aeminium;
- Desenvolver um módulo de optimização de programas paralelos para o *runtime* Aeminium;
- Validar as diferentes políticas de optimização criadas.

1.4 Contribuições

As principais contribuições deste trabalho são as seguintes:

- Apresentação dos resultados de um estudo empírico sobre como o número / tamanho das tarefas, decisão de paralelização e forma de escalonamento influencia a performance dos programas paralelos organizados em DAGs;
- Desenvolvimento e validação de diferentes políticas de otimização de programas em *runtimes*, baseados nos resultados do estudo apresentado;
- Criação e publicação de um módulo de otimização de programas no *runtime* Aeminium.

1.5 Estrutura da proposta de estágio

Este documento está organizado da seguinte forma:

- Primeiro capítulo: Introdução ao contexto do trabalho apresentado, motivação, objetivos e contribuições;
- Segundo capítulo: Apresentação do estado da arte em que se insere o presente estágio;
- Terceiro capítulo: Conceitos de base sobre a plataforma Aeminium (utilização e funcionamento interno);
- Quarto capítulo: Identificação e validação das hipóteses para investigação;
- Quinto capítulo: Apresentação da otimização efetuada no escalonador, com detalhes da implementação e validação;
- Sexto capítulo: Apresentação da otimização da decisão de paralelizar, possíveis políticas e validação;
- Sétimo capítulo: Implementação do módulo de agregação de tarefas, detalhes de implementação e validação;
- Oitavo capítulo: Apresentação do plano de trabalhos e riscos associados ao estágio;
- No final são apresentadas as conclusões retiradas para cada uma das hipóteses e ideias para trabalho futuro a efectuar no *runtime* Aeminium.

Capítulo

2 Conceitos de base e estado da Arte

Neste capítulo serão referenciados trabalhos de outros autores que se relacionam com o tema deste estágio. Estes podem ser abordagens concorrentes ou trabalhos que fundamentam e validam a nossa abordagem. Inicialmente irão ser abordados conceitos gerais como concorrência, escalonamento e tipos de abordagem usadas pelas linguagens de programação para a concorrência. No final serão apresentadas plataformas para programação paralela, técnicas para se retirar paralelismo de código sequencial e possíveis otimizações em *runtime*.

2.1 Concorrência

O objetivo da concorrência é produzir sistemas mais responsivos, reduzir latência e aumentar o *throughput*. Criando aplicações mais rápidas e criando uma melhor experiência ao utilizador.

As *threads* são consideradas um bom mecanismo para explorar o paralelismo em *multicores*. No entanto lidar com recursos partilhados pode-se tornar complexo para o programador, uma vez que tem que tratar da coordenação para evitar problemas como *starvation*, *race conditions* ou *deadlocks*.

O grande desafio é, assim, obter performance com um custo/esforço de programação baixo. Compiladores e *runtimes* que auxiliem a paralelização podem ajudar a minorar o dito custo/esforço no desenvolvimento de *software* paralelo.

2.2 Escalonamento

Para a execução eficiente da computação *multithread*, um algoritmo de escalonamento deve assegurar que existem *threads* ativas suficientes para manter o CPU ocupado e tentar manter *threads* relacionadas no mesmo processador para que os problemas de comunicação sejam minimizados. Além disso deve tentar que o número de *threads* concorrentes em estado ativo se mantenha com limites razoáveis para que os requisitos de memória não sejam demasiado grandes [9].

Alguns dos paradigmas de escalonamento que aparecem para tratar do escalonamento multithread são: *work sharing* e *work stealing*.

No *work sharing* é criado uma [21] *pool* de *threads* para executar as tarefas do programa. As tarefas que são criadas pelo programa são enviadas para uma fila central, onde

as *threads* vão exercer o seu trabalho. Um dos problemas associados a este tipo de escalonamento está relacionado com o facto de que, como todas as *threads* vão exercer o seu trabalho numa fila central, esta pode-se tornar um *bottleneck*. Outro problema decorre da maneira como são tratadas as tarefas suspensas, já que quando uma tarefa suspende a *thread* que a executa também se suspende e para a compensar é criada uma nova *thread* (grande *overhead* de criação/destruição de *threads*), que pode levar a número de *threads* bastante superior ao número de cores disponíveis.

O *Work stealing* é baseado na ideia de desacoplar as tarefas das *threads*, criando para isso um conjunto fixo de *threads* – normalmente uma *thread* para cada processador, que por sua vez exercem tarefas para executar. Nesta técnica os processadores com baixa utilização, tomam a iniciativa e “roubam” *tasks* a processadores com elevado trabalho, permitindo um balanceamento dinâmico do trabalho.

Uma das diferenças entre estes algoritmos é que a migração de *threads* ocorre muito mais frequentemente no *work sharing* que no *work stealing*, uma vez que no último todos os processadores têm trabalho e caso não o tenham, vão procura-lo.

2.3 Abordagens na programação concorrente

Nas linguagens de programação existem dois tipos de abordagens usadas para a programação concorrente: implícita e explícita. De seguida são apresentadas com mais detalhe, cada uma delas.

2.3.1 Abordagem com concorrência explícita

Num sistema concorrente explícito, o programador cria [1] e gere a execução concorrente de modo ativo. Existe uma gestão manual da execução concorrente. Este tipo de abordagem é o mesmo que se pode encontrar ao escrever código JAVA para o *runtime* Aeminium. Aqui pode-se decidir as dependências entre tarefas, quando uma tarefa deve ou não ser atómica, o número de tarefas que se criam, entre outras.

2.3.2 Abordagem com concorrência implícita

No caso de um sistema implícito onde se insere a *framework* Aeminium - compilador e runtime - o utilizador não necessita de escrever o código de modo paralelo. Neste tipo de abordagem o programador escreve o código com as instruções que devem ser executadas e o sistema decide a melhor maneira de o executar mais eficientemente.

2.4 Paralelização automática

A paralelização automática de um código sequencial para código paralelo é um pouco limitada nas linguagens existentes. Algumas plataformas possuem concorrência explícita, tendo que o programador através de anotações indicar o paralelismo ao compilador e outras nos melhores casos são parcialmente implícitas, retirando paralelismo de algumas estruturas de dados tais como: *arrays*, matrizes e *loops*.

2.4.1 Linguagens paralelas por defeito

Algumas das linguagens paralelas por defeito são:

- CILK
- X10
- Chapel
- Fortress

Seguidamente será efetuada a apresentação do CILK.

CILK

O CILK é uma extensão de C/C++ para suportar tarefas paralelas. Esta extensão tem como filosofia que o programador deve concentrar-se na estrutura do programa para expor o paralelismo - identificar os elementos que podem executar com segurança em paralelo, deixando o *runtime* do CILK com a responsabilidade de escalonar a computação para correr eficientemente numa determinada plataforma. Além disso trata de assuntos relacionados com *load balancing*, sincronização e protocolos de comunicação.

Os dois comandos principais usados pelo CILK são:

- *spawn*: Indica que um procedimento pode executar em paralelo;
- *sync*: Indica que a execução não pode continuar até que os procedimentos anteriores com *spawn* estejam concluídos.

O *workload balancing*, ou seja distribuição de tarefas pelos *workers* é efectuado através do algoritmo *work stealing*. Na figura 2 é apresentado um exemplo do Fibonacci programado em CILK.

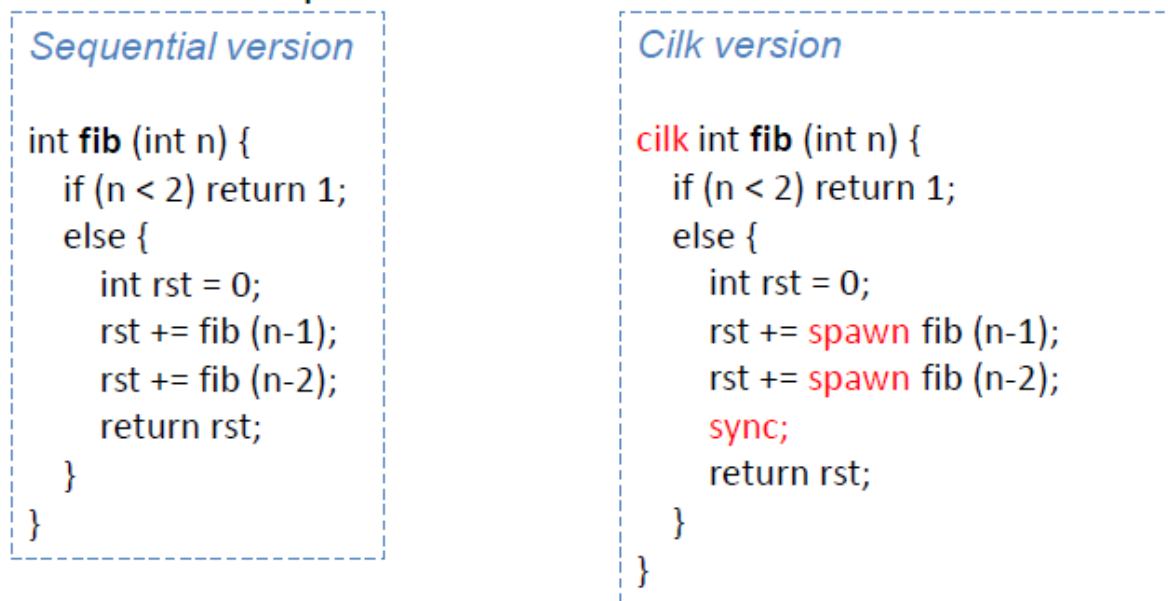


Fig. 2 - Exemplo do Fibonacci em Cilk. Fonte: [27]

O comando *cilk* indica que é um procedimento e tem que ser inserido na função *main*. O comando *spawn* indica que o procedimento filho pode ser executado em paralelo no procedimento pai e o comando *sync* faz esperar até que todos os filhos tenham completado – apenas os filhos do pai corrente. O comando *sync* não é obrigatório uma vez que o compilador insere este comando por *default* antes do *return*.

2.4.2 Linguagens sequenciais executadas em paralelo

Actualmente existem poucas linguagens implícitas. A plataforma Aeminium com a sua especificidade nesta área vem tentar colmatar esta necessidade. Algumas das plataformas existentes são listadas de seguida:

- HASKELL
- JAVAR
- SISAL
- Par4All

De seguida é efetuada uma breve apresentação da plataforma JAVAR e SISAL.

JAVAR

É um compilador escrito em C, que transforma automaticamente [26] código com paralelismo implícito em paralelismo explícito através de *multi-threading*. A detecção de paralelismo é efetuada de modo automático, mas o programador e também pode inserir anotações para identificar paralelismo. A detecção automática é efetuada pelo compilador

através da identificação de *loops* e métodos recursivos na tentativa de explorar paralelismo implícito. A identificação de paralelismo efetuada pelo programador é efetuada através do uso de anotações, como por exemplo usar `/*par*/` como comentário de um ciclo. O funcionamento do JAVAR (fig. 3) pode ser resumido nos seguintes passos:

- Um ficheiro com extensão `.java` é usado como input no compilado JAVAR. O compilador JAVAR transforma o ficheiro `.java` numa forma com *multithreading* (código JAVA com *threads*). Tornando o paralelismo implícito em explícito;
- O ficheiro `.java` é compilado em *bytecode* por um compilador Java e executado na JVM.

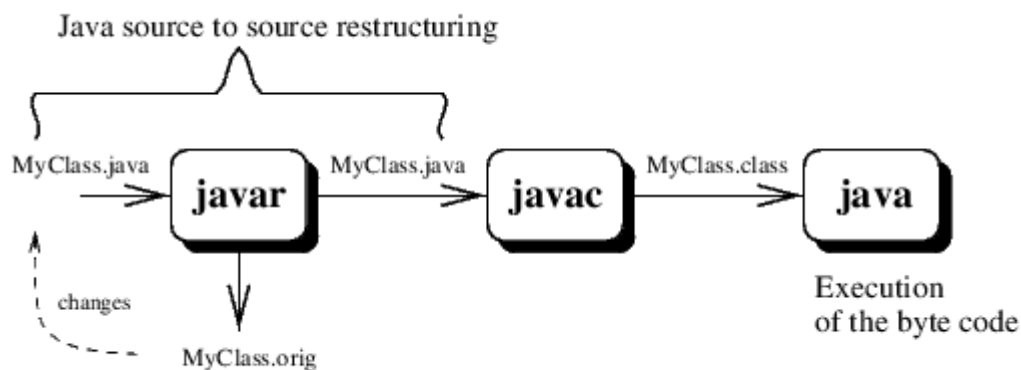


Fig. 3 - Funcionamento do JAVAR. Fonte: [26]

O JAVAR é um protótipo e não fornece um Java *front-end* completo. Um exemplo desta carência é por exemplo a falta de suporte para escape caracteres. Uma interessante característica é a criação de apresentações em HTML de programas Java.

SISAL

Sisal é uma [29] linguagem de programação funcional, combinando características das linguagens modernas com sintaxe legível e bases sólidas de matemática. Foi definida em 1983 por James McGraw na Universidade de Manchester. Uma interessante vantagem do Sisal é que o código Sisal pode ser misturado com C ou Fortran, criando aplicações híbridas. Além disso é uma boa linguagem para desenvolvimento rápido, uma vez que os programas tendem a ser mais pequenos, mais fáceis de entender e modificar.

2.5 Retirar paralelismo de código sequencial

Pode-se retirar paralelismo do código de dois modos: manual e automático. Manualmente realizado pelo programador e de forma automática pelo compilador. Sendo que quando efectuado pelo programador é requerido mais esforço, uma vez que este precisa de ter em atenção problemas associados à programação paralela anteriormente citados – *race conditions*, *deadlocks*, entre outros.

De modo automático, o compilador através da análise do código [14] pode encontrar paralelismo que nem sempre é óbvio para um programador experiente. Mas para isso, o compilador tem de explorar regiões do código através de análise para depois paraleliza-lo. A análise é a base para a paralelização automática, que visa encontrar vários tipos de dependências entre as várias partes de um programa - dependências de dados (escrita/leitura da mesma variável) e dependências de controlo (prioridade entre dois statements).

Algumas das técnicas usadas para extração automática são DOALL, DOACROSS, DOPIPE e *decoupled Software pipelining*(DSWP).

2.5.1 DOALL

Um *loop* pode-se dizer DOALL [15] se todas as suas iterações em qualquer invocação poderem ser executadas simultaneamente. O *loop* pode assim ser dividido em vários grupos e executado em paralelo. Esta é uma das paralelizações mais simples de se efetuar. Na figura 4 apresenta-se um exemplo desta paralelização.

	Sequential program variables:
	int a[N], b[N], c[N], tid[M];
int a[N], b[N], c[N];	Parallel code:
for(i=0;i<N;i++){	void doall(int *tid){
c[i] = a[i]+b[i];	int id = *tid;
}	for(i=id*N/M;i<(id+1)*N/M;i++){
	c[i] = a[i]+b[i];
	}
	}
(a)	(b)

Fig. 4 - Exemplo DOALL a)Programa Original b)programa paralelizado. Fonte: [14]

2.5.2 DOACROSS

Ao contrário dos *loops* DOALL [20] que não impõem nenhuma ordem de execução entre as iterações do *loop*, os *loops* DOACROSS impõem uma ordem de execução parcial, no sentido de que algumas iterações são forçadas a esperar a execução parcial ou completa de algumas iterações anteriores. Sendo normalmente utilizados para paralelizar *loops* dependentes das iterações anteriores. Os *loops* DOACROSS fazem uso de conhecimento a-priori para realizar as sincronizações necessárias.

2.5.3 PIPELINE

Um *pipeline* é uma cadeia de elementos [14] onde um elemento anterior gera um *input* que vai ser processado pelos elementos seguintes. Neste tipo de paralelização muitas vezes é necessário *buffering* na comunicação entre as *threads*. Duas técnicas deste tipo de paralelização são apresentadas de seguida: DOPIPE e *Decoupled Software Pipelining*.

DOPIPE

O DOPIPE foi originalmente proposto para paralelizar código com recorrências. Este divide o *loop* original em várias partes e distribui-o pelas *threads*. As dependências entre as *threads* são forçadas a ser unidirecionais, isto é, não existem dependências cíclicas entre as *threads*.

Decoupled Software pipelining(DSWP)

O DSWP, tal como o DOPIPE, apenas trabalha se um *loop* poder ser dividido em várias partes que não formam dependências cíclicas. Este particiona as instruções de um *loop* ao longo de uma sequência de loops. O DSWP difere do DOPIPE por usar filas na comunicação entre as *threads*.

2.6 Otimizações em runtime

Tradicionalmente as técnicas de otimização eram centradas nas transformações do compilador para expor o paralelismo. Os problemas associados às otimizações efetuadas apenas no compilador são:

- Serem estáticas: não têm em conta as condições do *runtime*, mas um computador paralelo apresenta um ambiente bastante variável, tanto ao nível da disponibilidade de recursos como ao nível da transmissão de mensagens;
- Serem imprevisíveis: possuem necessidades computacionais imprevisíveis e padrões de comunicação que não podem ser deduzíveis a partir de uma análise estática do programa paralelo;

- Compilação ser modular: se um programa paralelo é composto por módulos compilados separadamente, o compilador não possui informação global suficiente para otimizar o programa. Como exemplo temos as decisões de *load balancing* que não podem ser feitas por um módulo isolado, uma vez que a carga sobre o processador está afetada por cálculos em todos os módulos.

Além disto as otimizações no runtime podem tratar de muitos casos onde as transformações do compilador são inadequadas, tais como:

- A compilação pode ser otimizada para a ocupação do CPU alvo (ex: agregação / desagregação de tarefas, tal como o tentado neste estágio);
- O sistema ser capaz de recolher estatísticas do programa a correr e assim rearranjar e recompilar para melhorar a performance. No entanto alguns compiladores estáticos podem usar *profile information* como *input*.

2.6.1 JIT Just-In-Time compiler

A *Java Virtual Machine* [3] usa o *Just-In-Time (JIT) Compiler*, para aumentar a sua performance, visto este sistema ter vantagens sobre compiladores estáticos, já que as decisões podem ser feitas *on-the-fly* e adaptar-se às características do programa em execução. A sua especificação define uma arquitetura abstrata para executar programas compilados em diferentes plataformas. O formato binário do código para a JVM é chamado de *bytecode* e armazenado em ficheiros com extensão *.class*.

O JIT é usado para melhorar a performance dos programas de computador e normalmente oferece melhor performance que os interpretadores. Basicamente é um tradutor em tempo de execução que converte código num formato para outro. Como por exemplo *bytecode* para código máquina em tempo de execução.

O JIT é um compilador dinâmico [2] que pode explorar as informações do perfil do *runtime*, possuindo informações do processador que se possui, o número de cores, registos disponíveis, sistema operativo, estado da memória usada atual, entre outros.

Algumas das otimizações efetuadas pelo JIT são o *inline method*, *remove redundant loads*, *copy propagation*, *eliminate dead code*.

Apesar das implementações efetuadas neste estágio diferirem bastante do tipo de otimizações efetuadas pelo JIT, fez-se um estudo do mesmo, para se conhecer os vários tipos de otimização possíveis de efectuar em *runtime*.

2.6.2 Thread-level Speculation

É uma técnica usada para explorar paralelismo no *runtime*. Executa *threads* dependentes [24], adiando a verificação se as dependências são violadas para o *runtime*. Tem com ideia básica [25] executar o acesso a determinado dado assumindo que não existe dependência, se a especulação não é segura, invoca uma acção de recuperação (*rollback*), tendo que a *thread* dependente voltar a executar.

Capítulo

3 Conhecimentos base sobre a plataforma Aeminium

Neste capítulo é apresentado o *runtime* Aeminium. Através de exemplos de código é exposto como se utiliza esta *framework* de forma manual e de seguida é feita uma descrição do funcionamento interno, com recurso a diagramas UML.

3.1 Utilização do runtime Aeminium

O *runtime* Aeminium possibilita a criação de código paralelo de forma manual, tal como algumas *frameworks* existentes (ex: Cilk). É possível criar tarefas e gerir as suas dependências. Através da análise destas dependências o *runtime* Aeminium decide quais as tarefas que podem ser executadas paralelamente. De seguida é realizada uma breve introdução aos seguintes pontos:

- Inicialização e paragem;
- Criação de tarefas;
- Utilização das dependências.

Para se utilizar o *runtime* Aeminium deve-se começar por criar uma instância, usando o seguinte código:

```
Runtime rt=Factory.getRuntime();
```

Seguidamente pode-se visualizar a inicialização e paragem do *runtime*. Entre a inicialização e paragem do *runtime* será onde se vai encontrar o código pretendido.

```
Final Runtime rt=Factory.getRuntime();  
rt.init();  
//código desejado escrito aqui  
rt.shutdown();
```

Para se iniciar a paralelização de código é necessário a criação de *Tasks*, sendo cada *Task* constituída por um *Body*. O *Body* é a classe onde se encontram as instruções em Java que pretendemos executar. Na figura 5 é apresentada através de uma ilustração, uma tarefa com o seu *body* a depender de outra tarefa.

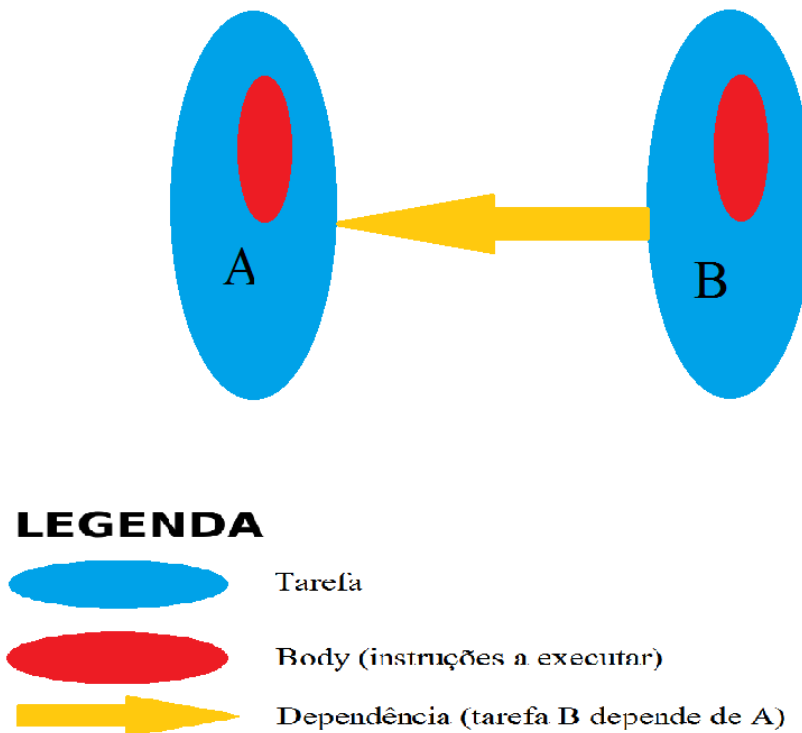


Fig. 5 - Tarefa, Body e dependência

Como se pode visualizar a tarefa possui no seu interior o *Body* e a tarefa B depende de A, isto quer dizer que apenas pode ser invocada sua execução depois da tarefa A terminar. Posteriormente será apresentado o uso destas dependências. O *Body* é passado como argumento à classe *Task*, juntamente com os *Hints*, informação que se pode transmitir ao *runtime*. Um exemplo da criação de uma *Task* é apresentado no código seguinte:

```
Task task = rt.createNonBlockingTask(new Body() {  
    @Override  
    Public void execute(Runtime rt, Task current) {  
        //código escrito aqui  
    }, (short)Hints.NO_HINTS);
```

Apesar de no exemplo anterior, encontrar-se apenas a representação da criação de uma *NonBlockingTask*, existem vários tipos de tarefas, tais como: *BlockingTasks* e *NonBlockingTasks*. Estes tipos são usados para informar o *runtime* se uma tarefa pode ou não bloquear. Alguns exemplos dos *Hints* citados anteriormente e que foram adicionados no decorrer do estágio são:

- O tamanho das tarefas (ex: Hints.SMALL);
- Se a tarefas contêm loops (ex: Hints.LOOPS);
- A tarefa não tem dependentes (ex: Hints.NO_DEPENDENTS);
- A tarefa não possui tarefas filhas (ex: Hints.NO_CHILDREN);
- A tarefa é recursiva (ex: Hints.RECURSION);
- Caso não se pretenda transmitir nenhuma informação (ex: Hints.NO_HINTS).

Este tipo de informação é importante para que o *runtime* possa tomar as melhores opções, aquando do escalonamento das tarefas, um exemplo é o *merge* de tarefas abordado nesta investigação. Após a criação da *Task* é necessário efetuar o seu escalonamento, usando para isso a seguinte função:

```
rt.schedule(task, Runtime.NO_PARENT, Runtime.NO_DEPS);
```

Como primeiro parâmetro é passada a *Task* a escalonar, em segundo a *Task* pai e por último uma colecção de *Tasks* (dependências). De notar, que nesta função também é possível transmitir alguns *Hints*:

- Caso a tarefa não possua pai: Runtime.NO_PARENT;
- Caso não possua dependências: Runtime.NO_DEPS.

Um exemplo de como se pode utilizar o *runtime* Aeminium para paralelizar código sequencial é apresentado de seguida. Neste exemplo é utilizado o código para cálculo dos números de Fibonacci. No primeiro bloco, o código original e no segundo o código paralelo.

```
public static void main(String[] args) {
    int fib = 20;
    long val = seqFib(fib);
    System.out.println("F(" + fib + ") = " + val);
}

public static long seqFib(long n) {
    if (n <= 2)
        return 1;
    else
        return (seqFib(n - 1) + seqFib(n - 2));
}
```

Como se pode visualizar, o código sequencial é constituído pelo uso de chamadas recursivas à função seqFib(long n).

```

public static class FibBody implements Body {
    public volatile long value;

    public FibBody(long n) {
        this.value = n;
    }

    @Override
    public void execute(Runtime rt, Task current) {
        if (value <= 2) {
            value = 1;
        } else {
            FibBody b1 = new FibBody(value - 1);
            Task t1 = rt.createNonBlockingTask(b1, Hints.RECURSION);
            rt.schedule(t1, Runtime.NO_PARENT, Runtime.NO_DEPS);

            FibBody b2 = new FibBody(value - 2);
            Task t2 = rt.createNonBlockingTask(b2, Hints.RECURSION);
            rt.schedule(t2, Runtime.NO_PARENT, Runtime.NO_DEPS);

            t1.getResult();
            t2.getResult();
            value = b1.value + b2.value;
        }
    }
}

public static void main(String[] args) {
    Runtime rt = Factory.getRuntime();
    rt.init();

    int fib = 20;
    FibBody body = new AeFibonacci.FibBody(fib);
    Task t1 = rt.createNonBlockingTask(body, Runtime.NO_HINTS);

    rt.schedule(t1, Runtime.NO_PARENT, Runtime.NO_DEPS);
    rt.shutdown();
    System.out.println("F(" + fib + ") = " + body.value);
}

```

Para o caso paralelo é criada a classe *FibBody* que implementa a classe *Body*. No execute é inserido o código para o cálculo dos números, criando para isso duas *Tasks*. Uma para calcular o *value* -1 e outra, o *value* -2, no final o *value* do próprio *Body* é igual á soma dos dois. Tal como no código sequencial se o *value* for igual ou menor a 2 então o *value* do próprio *Body* é 1. A função *getResult()* é utilizada para esperar a finalização da execução das tarefas e então só depois se soma os valores resultantes.

Através dos exemplos dá para perceber que a utilização do *runtime* Aeminium é bastante simples. A grande dificuldade é entender o que se pode paralelizar.

3.2 Funcionamento interno

De seguida será feita uma descrição do funcionamento interno do *runtime* Aeminium. O funcionamento é apresentado com recurso a diagramas UML (estados, sequências e classes) de modo a auxiliar a visualização das interações internas do *runtime*.

3.2.1 Estados das tarefas

Durante o tempo de vida de uma tarefa existem 6 estados pelos quais esta pode transitar:

- UNSCHEDULED
- WAITING_FOR_DEPENDENCIES
- WAITING_IN_QUEUE
- RUNNING
- WAITING_FOR_CHILDREN
- COMPLETED

Através da ilustração seguinte são apresentados os estados existentes durante a vida de uma tarefa e condições para as transições ocorrerem.

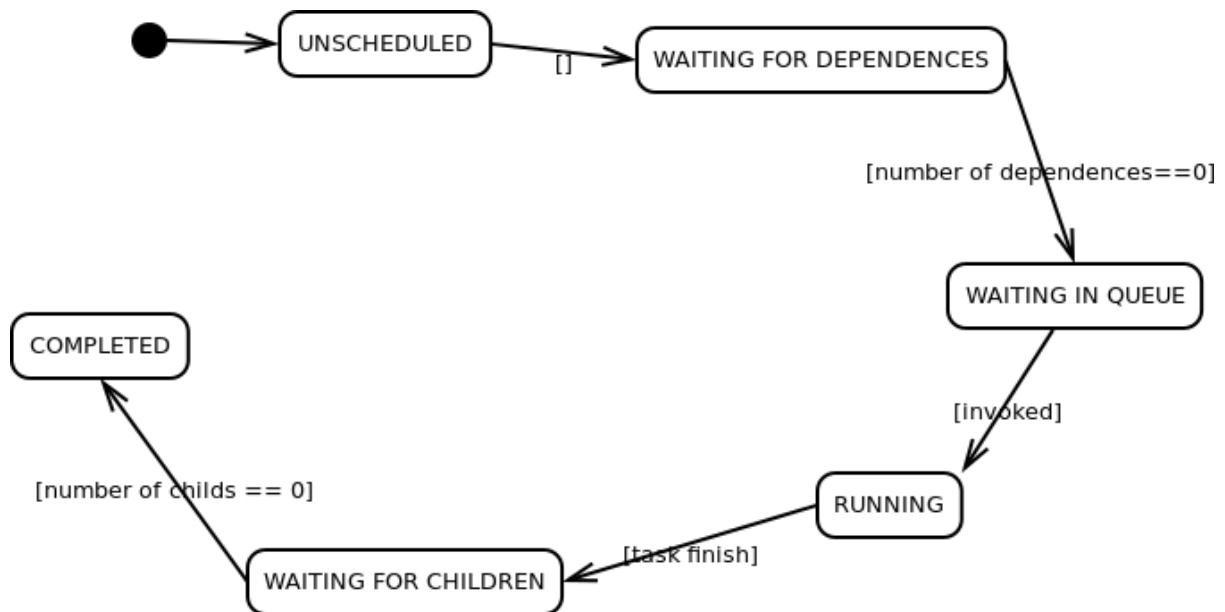


Fig. 6 – Estados das tarefas

O estado UNSCHEDULED é o estado inicial da tarefa ao entrar no grafo. Assim que esta dá entrada, transita para o estado WAITING_FOR_DEPENDENCIES e permanece neste estado até se verificar que as suas dependências terminaram de executar ou a tarefa não possui

dependências. Caso as condições anteriores se verifiquem, esta transita para o estado `WAITING_IN_QUEUE`, mantendo-se neste estado até que algum *worker* retire-a da *waiting queue* e inicie a sua execução, transitando imediatamente para o estado `RUNNING`. Logo que a tarefa termine de executar esta transita para o estado `WAITING_FOR_CHILDREN` e esperado até que todas as suas dependências terminem. Finalmente transita com o estado `COMPLETED` e dá-se finalizada a vida da tarefa.

3.2.2 Arquitectura do Aeminium Runtime

O *runtime* Aeminium (fig. 7) é constituído por três importantes módulos. O Grafo, o *Scheduler* e os *Workers* com as suas *waiting queues*.

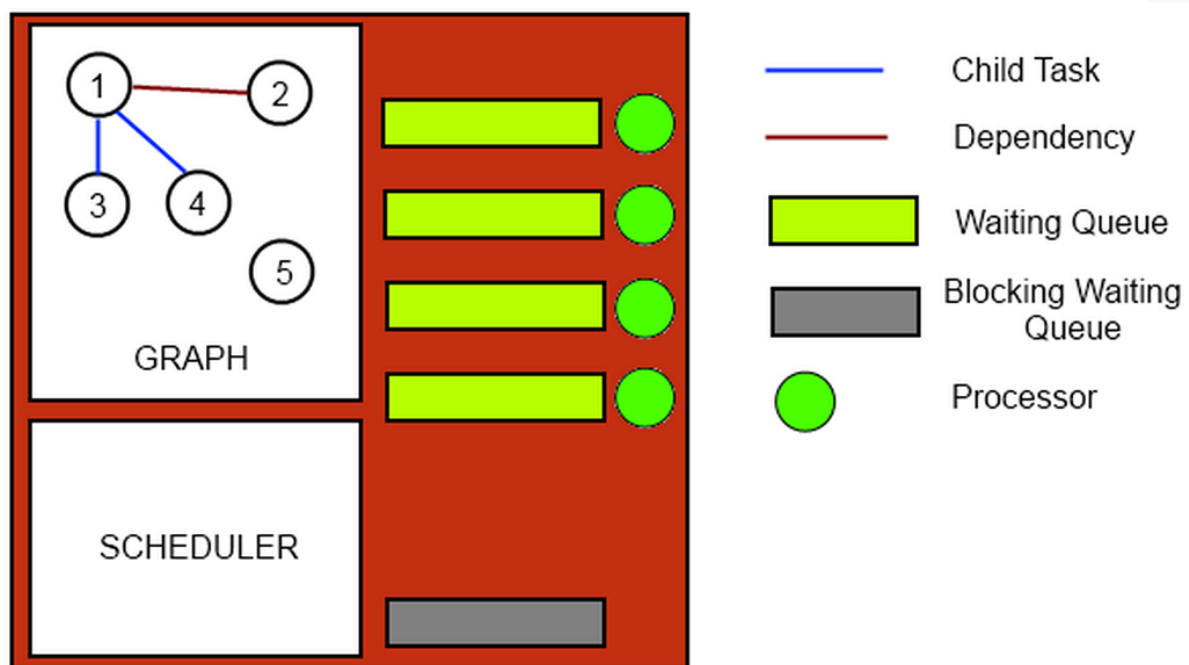


Fig. 7 - Arquitectura do Aeminium Runtime

Ao mesmo tempo que o código é executado, as tarefas são inseridas no Grafo e as dependências são verificadas. Caso, as tarefas sejam consideradas *ready* para executar, são enviadas para o *scheduler*, que tem como função inseri-las nas filas de execução de um *worker*. Relativamente aos *workers* é importante salientar que para cada um existe a respectiva `WAITING QUEUE` e caso não possuam tarefas nas suas filas de execução, este recorre ao *workstealing* para adquirir tarefas das filas dos *workers* vizinhos.

3.2.3 Sequência de eventos no escalonamento de tarefas

Para facilitar a compreensão da sequência de mensagens durante o tempo de vida de uma tarefa, recorreu-se um diagrama de sequências. Os diagramas com a sequência de mensagens

utilizada antes do *schedule* e após o *schedule* (fig. 24) (fig. 25) da tarefa são apresentados nos anexos deste documento. Antes do *schedule* da tarefa a troca de mensagens pode ser resumida aos seguintes passos:

1. Adição da tarefa ao *ImplicitGraph*;
2. Se a tarefa possuir pai, adiciona a tarefa à lista de filhos do pai;
3. Muda o estado da tarefa de UNSCHEDULE para WAITING_FOR_DEPENDENCES;
4. Caso a tarefa possua dependências, percorre cada uma das dependências e adiciona a tarefa à lista de dependentes. Ao mesmo tempo vai contando o número total de dependentes das suas dependências;
5. Se o número de dependentes for igual a zero, muda o estado da tarefa para WAITING_IN_QUEUE e faz o *schedule* da tarefa.

Após o *schedule* os passos principais são:

1. Caso a *thread* actual seja do tipo *WorkStealingThread*, a tarefa é adicionada à *taskQueue* da *WorkStealingThread*;
2. Caso seja a Main thread, a tarefa é adicionada à *submissionQueue* e é efectuado um *signalWork()* para acordar uma *WorkStealingThread* e executar as tarefas WAITING_IN_QUEUE;
3. A *WorkStealingThread* verifica se existe alguma tarefa na sua fila *taskQueue* e caso exista executa-a;
4. Caso não exista, tenta fazer *stealing* às outras filas de execução. Se encontrar uma tarefa, então executa-a, senão “adormece” a *thread*;
5. No final da execução de uma tarefa caso o número de filhos seja igual a zero, muda o estado da tarefa para COMPLETED, em caso negativo deixa o estado da tarefa em WAITING_FOR_CHILDRENS.

3.2.4 Classes fundamentais

O *runtime* Aeminium é constituído por mais de 50 classes, para facilitar a interpretação, retiraram-se as classes com menos importância para a optimização, gerando assim um diagrama de classes simplificado. A criação do referido diagrama foi efectuada com recurso ao *plugin* ObjectAid UML Explorer [28] para o Eclipse, através da utilização desta ferramenta é possível efectuar *reverse engineer* ao código existente e gerar vários tipos de

diagramas UML. O resultado obtido (fig. 26) pode visualizar-se nos anexos. De modo resumido as principais classes são as seguintes:

- *Runtime (ImplicitWorkStealingRuntime)*: É base do *runtime*, possui as funções para iniciar, parar, criar tarefas e fazer o *schedule*;
- *Grafo (ImplicitGraph)*: Onde se verificam as dependências;
- *Tarefa (ImplicitTask)*: A tarefa com os seus atributos;
- *Scheduler (BlockingWorkStealingScheduler)*: Onde se faz o escalonamento e distribuição de tarefas para as filas;
- *Worker (WorkStealingThread)*: Onde se executam as tarefas.

Capítulo

4 Validação do problema e identificação das questões de investigação

Neste capítulo é apresentada o *setup* experimental utilizado nas experiências, identificação e validação de possíveis hipóteses para investigação. Através da realização de experiências tentou-se identificar hipóteses que nos guiassem a políticas de optimização a implementar no *runtime* Aeminium. Preliminarmente realizaram-se experiências com diferenças no número e tamanho das tarefas na tentativa de perceber se estas características tem influência na performance do *runtime* e no final implementou-se um *profiler* para recolher dados durante a execução de vários programas, tentando assim encontrar padrões e anomalias na sua execução.

4.1 Setup experimental

Nesta secção é apresentado o setup experimental usado no decorrer das experiências. É apresentada as especificações de *hardware* da máquina Ingrid, uma introdução ao Jprofiler e o código utilizado para fazer medições do tempo de execução dos programas.

4.1.1 Hardware

Para executar as experiências foi usada a máquina Ingrid localizada no Departamento de Engenharia Informática da Universidade de Coimbra. As principais características são:

- PROCESSADOR: 2 processadores Intel X5660 2.8GHz (6 *cores* cada, com *hyper-threading*, formando um total de 24 *threads*);
- RAM: 24 GB com 50GB de espaço *swap*;
- DISCO: 2 x 1TB (7200 RPM);
- SISTEMA OPERATIVO: Ubuntu 12.10.

4.1.2 Ferramenta de estudo do comportamento - Jprofiler

Para a análise do comportamento das aplicações de teste em tempo de execução. Com esta, é possível visualizar dados tais como a memória RAM consumida em tempo real, *bottlenecks*, utilização de CPU, número de cores usados, *garbage collection*, a percentagem de tempo que as funções ocupam de processamento e outros aspetos importantes relativos ao comportamento do *runtime*. Para obter informação [19] sobre os métodos em execução, esta insere uma pequena sequência de instruções em *bytecode* no início e fim de cada método, de

modo a gravar o tempo despendido em cada um. Esta abordagem é conhecida como *bytecode injection*. Este tipo de ferramenta pode criar um “*observer effect*”, só pelo simples facto de estar a monitorizar o comportamento do programa em execução, podendo desativar algumas otimizações, tais como *dead code elimination* e *inline method* que são efetuadas quando o programa está a correr sem *profiling*.

4.1.3 Medição do tempo de execução

Uma maneira bastante simples de medir o tempo de execução de um programa é usando o *system clock* e registar esse tempo num ficheiro. O Java possui o método `System.currentTimeMillis()` que retorna a diferença em milissegundos entre o tempo atual e a meia noite de 1 de Janeiro de 1970 UTC. Um exemplo do uso deste método é apresentado de seguida.

```
Long initialTime=System.currentTimeMillis();
//Parte do código a ser medida a performance...
Long finalTime=System.currentTimeMillis();
System.out.println("Time cost= "+(finalTime-initialTime)/1000);
```

Não se usou o `System.nanoTime()`, uma vez que não era necessária uma definição tão alta em programas com tempo de execução superiores a vários segundos, como os utilizados no decorrer das experiências. Os dados obtidos, inicialmente eram retirados para sete execuções, sendo que aumentamos esse valor para trinta execuções, uma vez que só a partir deste valor se retira valores estatisticamente relevantes.

4.2 Número e dimensão das tarefas

Nesta secção são apresentados os resultados que se obtiveram ao utilizar programas com diferenças no número e tamanho das tarefas. Para tal decidiu-se recorrer a criação manual de programas básicos de paralelização de *loops*, baseando-se na técnica DOALL mencionada no livro “*Fundamentals of multicore Software development*” [14]. Este programa mais simples, permitiu-nos elevar o tamanho do ciclo para valores muito elevados. Ao código apresentado no livro adicionou-se um ciclo interno com uma operação de modo a podermos aumentar ou diminuir o tamanho de cada iteração e assim perceber se a dimensão das tarefas possui alguma influência. Além disso recorreu-se á execução do programa de multiplicação de matrizes com código gerado manualmente e outro com código gerado pelo compilador. A

grande diferença é que o código gerado pelo compilador cria muito mais tarefas e de menor dimensão que o mesmo programa com código gerado manualmente.

Na figura 8 são apresentados os tempos de execução médios obtidos em sete execuções para um ciclo externo com 12582912 iterações e um ciclo interno com 5000 iterações.

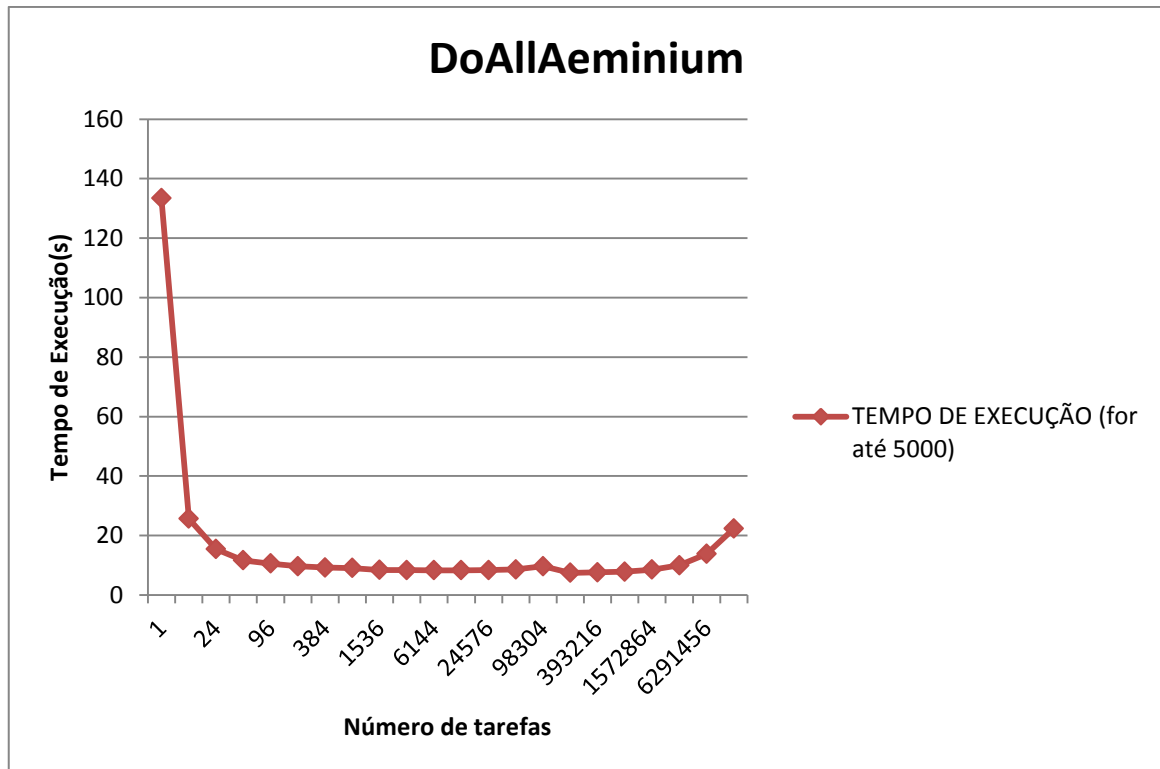


Fig. 8 - Tempo de execução DOALL com for até 5000

Como se constata na figura anterior a partir de um elevado número de tarefas a performance tem um decréscimo de performance evidenciado. Na figura 9 são apresentados os resultados obtidos a título de comparação para um ciclo interno de 5000,10000 e 15000 iterações respectivamente.

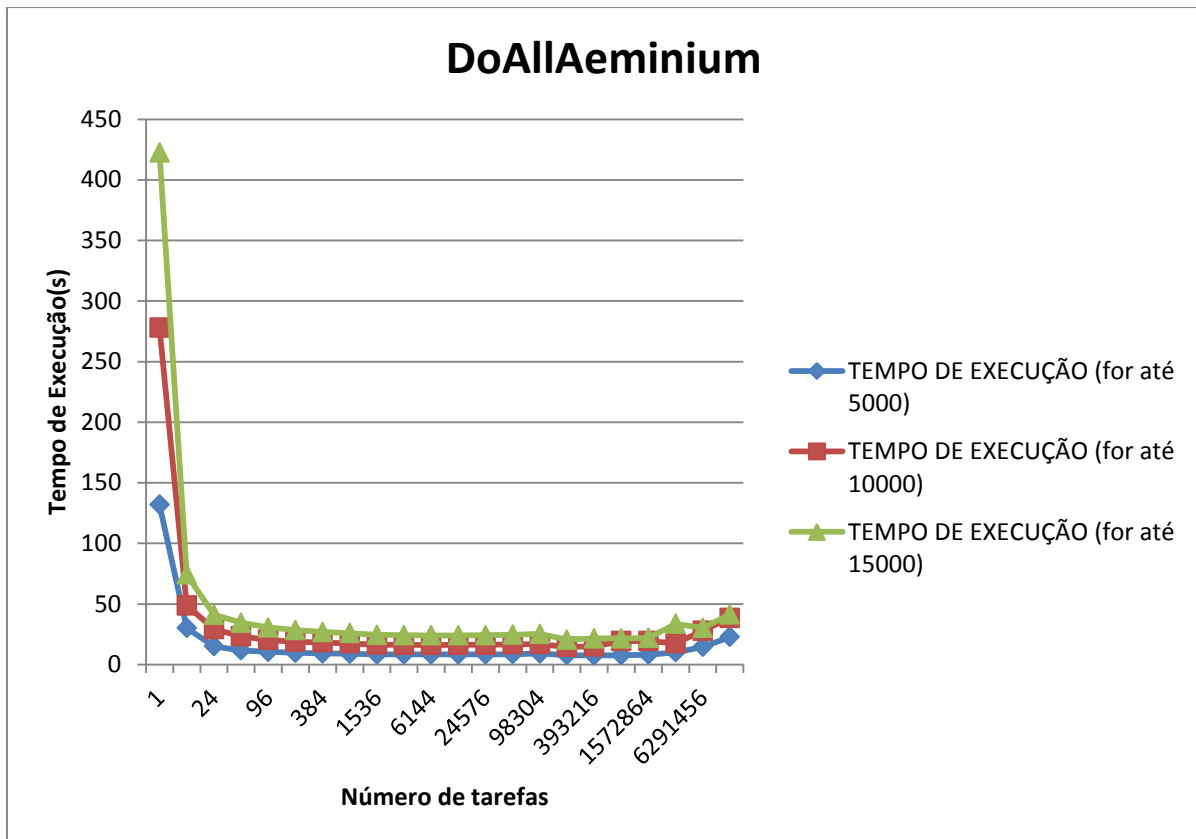


Fig. 9 - Tempo de execução DOALL com for até 5000, 10000 e 15000

Como se pode verificar a variação da dimensão da tarefa não infligiu nenhuma alteração ao comportamento do programa. No final foi efetuada uma experiência (fig. 10) com o programa *MatrixMultiplication*(multiplicação de matrizes) escrito de dois modos:

- Manualmente;
- Pelo compilador.

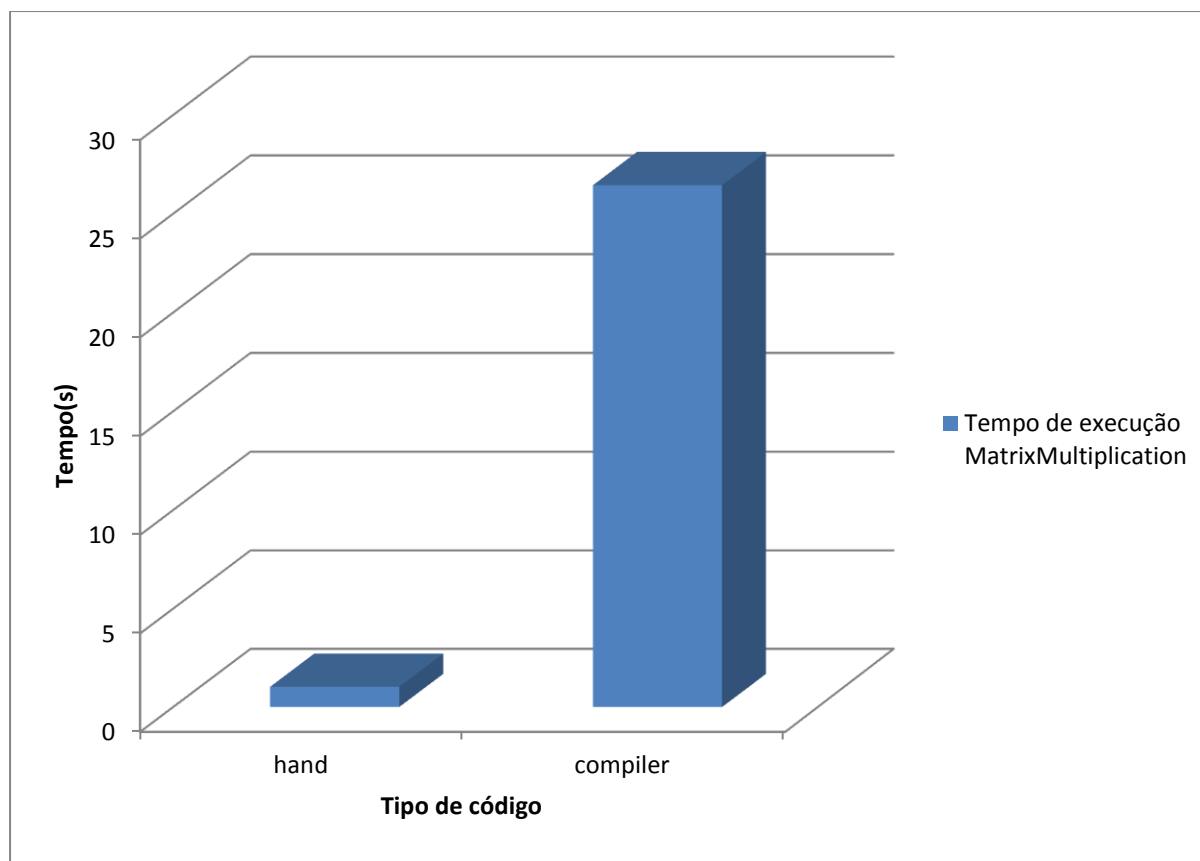


Fig. 10 - Código manual vs código do compilador

Através da análise do gráfico pode-se verificar que o código gerado manualmente possui um tempo de execução inferior, isto provavelmente associado às características do código. O código do compilador geralmente possui mais tarefas e dependências que o código escrito manualmente o que inflige um decréscimo de performance

4.3 Implementação de um profiler

Inicialmente pôs-se em dúvida se o número de *steals* não estaria demasiado elevado e se a inserção de tarefas nas filas de execução estava a ser efectuada de modo balanceado, isto é, a inserção de tarefas efectuada de modo a que o seu número em fila seja uniforme por todas as filas. Para verificar possíveis anomalias ou padrões de execução, foi implementado um *profiler* capaz de recolher diversas características durante a execução de programas e com estas encontrar possíveis optimizações. Na figura 29 em anexo é apresentado uma parte do output gerado pelo *profiler* implementado. A informação de profile é recolhida durante a execução dos programas e pode ser usada para encontrar padrões de execução, tipo de tarefas mais utilizadas, sequências de execução mais comuns, distribuição do trabalho pelos *cores*, etc. Com a implementação do profiler pretendia-se responder às seguintes perguntas:

- O número de steals pode estar demasiado elevado?

- Existe algum padrão de sequência na execução?
- Será benéfico pré-escalonar essa sequência?
- Existe algum desequilíbrio?

As características implementadas foram as seguintes:

- Total de tarefas executadas;
- Distribuição das tarefas pelos *cores*;
- Número de *steals* efetuados por cada *worker*;
- Sequência de execução das tarefas pelos *cores*;
- Sequência de execução do tipo de tarefas pelos *cores*;
- Total de tarefas por tipo;
- Número de dependentes por tipo de tarefa;
- Id dos dependentes por tipo de tarefa;
- Id do tipo de tarefa dos dependentes por tipo de tarefa;
- Número de tarefas por filas (*taskQueue*, *stealQueue*, *executed*);
- Total de tempo de espera das tarefas nas filas;

Para recolher dados do *profiler* foram executados programas dentro das seguintes categorias:

- Geometria – ClosestPair, Multiplicação de matrizes;
- Cálculo - PI, Fibonacci, fft;
- Otimização combinatória – Knapsack;
- Processamento de imagem - Histogram Equalization;
- Previsão – Blackscholes;
- Sequências – Mergesort;
- Strings – Longest Common subsequence (LCS);
- Grafos – BFS, Kdtree.

Seguidamente serão apresentados os resultados obtidos durante a execução do Knapsack para algumas das características que se efetuou *profiling*. Este programa foi escolhido para exposição do que ocorre, visto ser um dos que tem resultados mais significativos e representar a realidade de grande parte dos programas. O total de tarefas executadas por cada *worker* (fig. 11) numa execução escolhida ao acaso é apresentado no gráfico seguinte.

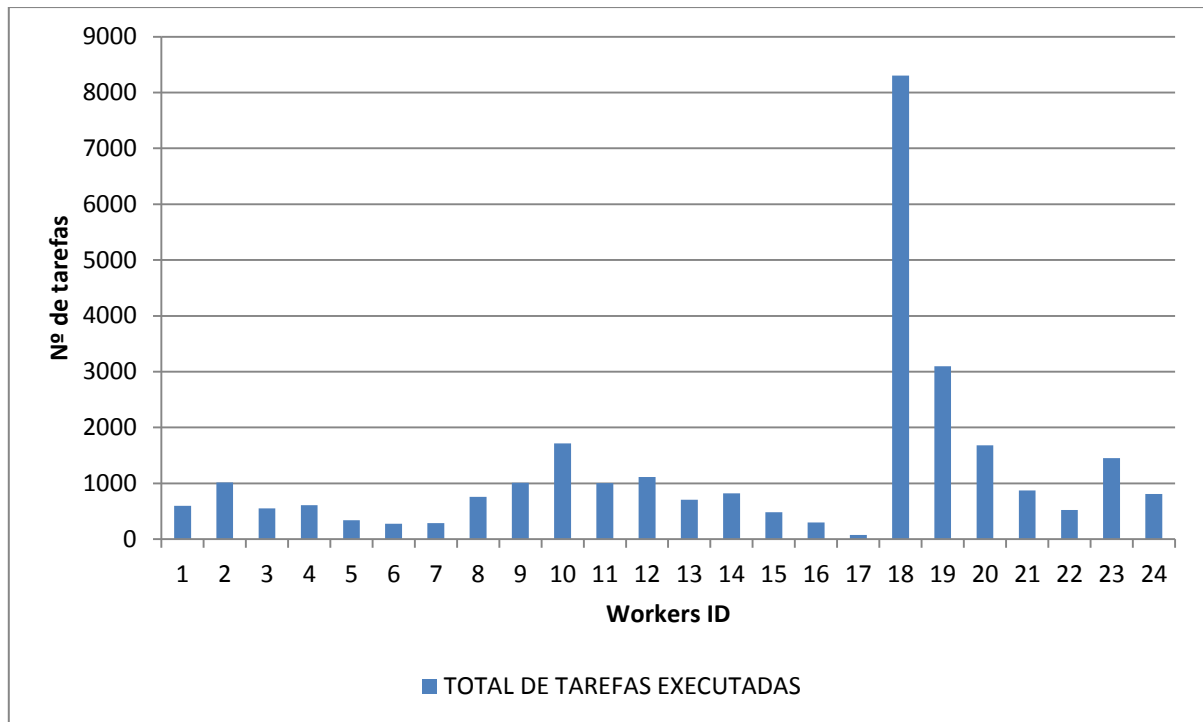


Fig. 11 - Total de tarefas executadas por worker

Como se pode verificar a distribuição de trabalhos não se encontra equilibrada pelos *workers*. Existindo alguns *workers* a executar menos de 100 tarefas, como é o caso do *worker* nº 16 e noutros casos como o do worker nº 18, a executar mais de 8000 tarefas. O número de *steals* executados por cada *worker* (fig. 12) é apresentado no gráfico seguinte.



Fig. 12 - Total de steals executados por worker

Como se pode visualizar o número de *steals* dos *workers* nº 18 e nº 19 sobressaem comparativamente com os restantes *workers*. Tal como o ocorrido no total de tarefas executadas por worker, o número de *steals* continua ser desequilibrado. O total de tarefas inseridas pelo *scheduler* em cada *worker* (fig. 13) continua a apresentar a tendência das experiências anteriores.

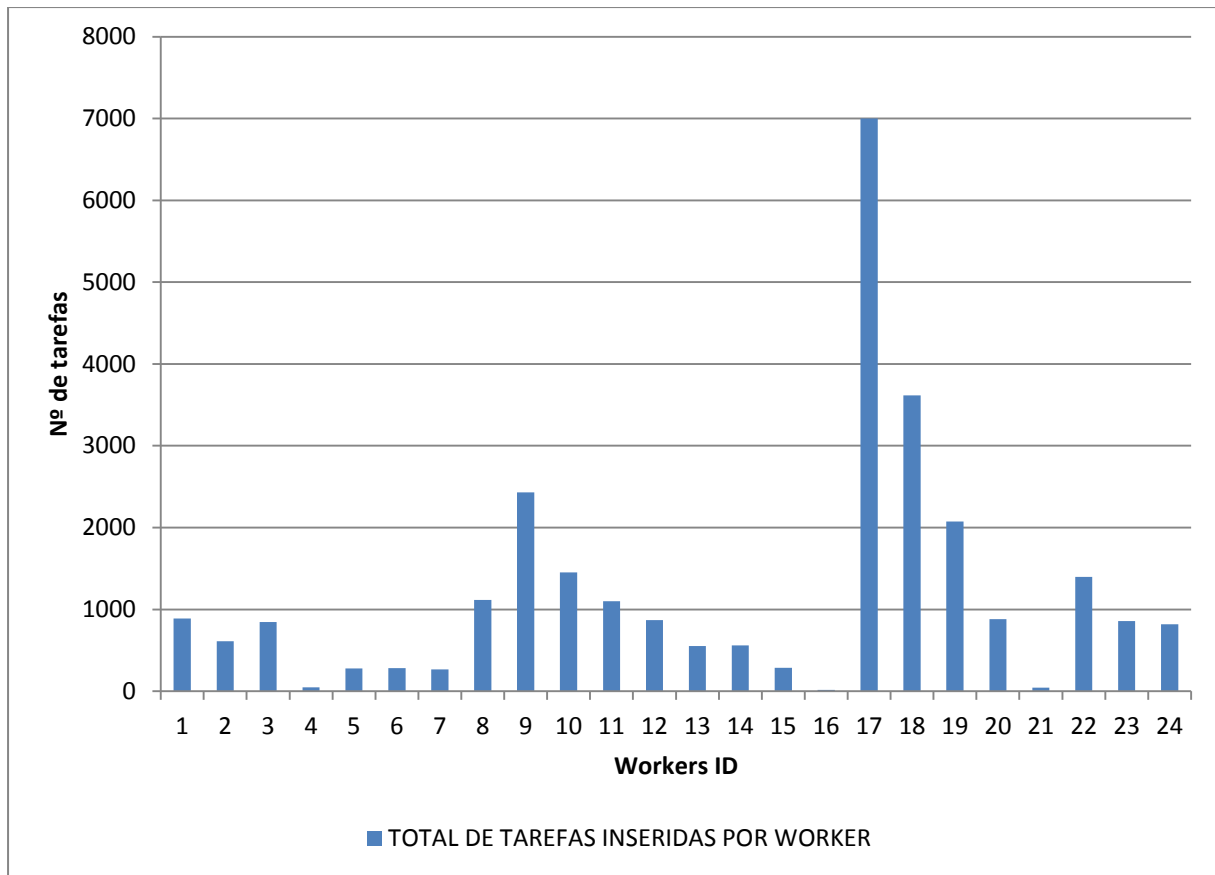


Fig. 13 - Total de tarefas inseridas por worker

Como se pode observar, existem alguns *workers* com cerca de 7000 tarefas inseridas pelo *scheduler* e outros com menos de 100 tarefas inseridas pelo *scheduler*.

Para finalizar, apresenta-se o total de tarefas pela sua origem (fig. 14). As tarefas podem provir de três locais, estes são:

- *taskQueue* - fila do próprio *worker*;
- *stealQueue* – fila de outro *worker*, tarefas adquiridas através de *steal*;
- *executed* – quando invocada a execução da tarefa sem que esta passe por uma fila pertencente a um *worker*. Esta situação pode ocorrer se a fila atingir o seu máximo.

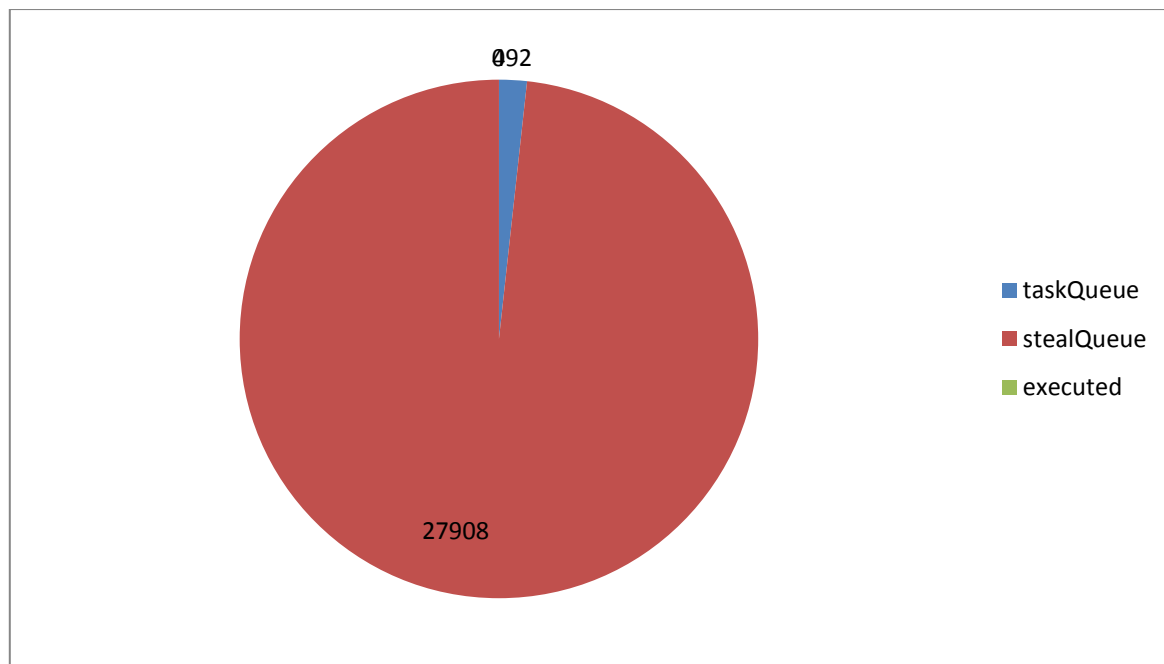


Fig. 14 - Total de tarefas por origem

Através da observação do gráfico anterior pode-se notar que a maioria das tarefas executadas provém da stealQueue. O número de tarefas provenientes da origem *executed* é nulo, que pode-se dizer ser normal.

Um ponto a notar é que o *worker* nº 17 é onde são mais inseridas tarefas - cerca de 7000, no entanto não executa nem 100 tarefas.

Com a implementação do *scheduler* conseguiu-se responder à primeira pergunta inicialmente formada. Mostrando que existia desequilíbrio na inserção de tarefas pelo *scheduler*.

4.4 Hipóteses a investigar

Através da realização das experiências anteriores foram definidas três hipóteses para investigação:

1. Um escalonamento mais equilibrado das tarefas em execução trará melhorias na performance;
2. Modificar o nível de paralelismo entre as tarefas em execução de acordo com a carga e capacidade do sistema trará melhorias de performance;
3. O controlo da granularidade das tarefas em execução e, consequentemente, do número de tarefas a executar trará melhorias de performance.

A primeira hipótese foi retirada da visualização do número de tarefas inseridas em cada *worker*. Uma vez que esta inserção não é balanceada, esta pode ser a causa do elevado número de *steals*, que podem causar um decréscimo na performance devido ao seu peso computacional. Como hipótese temos que, se efectuarmos um escalonamento mais equilibrado, podemos aumentar o *throughput*, diminuir os *steals* e melhorar a performance. Para isso, implementa-se uma optimização no *scheduler* que em vez de inserir tarefas nas filas de execução de modo *random*, irá basear-se no número de tarefas em fila para decidir em qual inserir a nova tarefa.

A segunda hipótese foi criada a partir da visualização da função que devolve a decisão de paralelizar ou sequencializar o código em execução. A decisão é baseada num *threshold* fixo relacionado com o tamanho da fila. Enquanto o tamanho da fila não atinge o *threshold* definido, esta devolve sempre a decisão de paralelizar e quando alcançado o *threshold* devolve sequencializar o código até ao final da execução do programa. Além desta visualização, acrescenta-se o fato de existirem desequilíbrios no total de tarefas executadas por *worker*. Este desequilíbrio pode levar a que o tamanho das filas dos *workers* que executam mais trabalho, alcancem valores elevados, originando a decisão de sequencializar mesmo que existam filas completamente vazias. Um excerto do código da função *paralelize()* é apresentado de seguida.

```
if ( ((WorkStealingThread)thread).getTaskQueue().size() >
parallelizeThreshold ) {
    return false;
} else {
    return true;
}
```

Uma hipótese a testar é se utilizar a informação do tamanho de todas as filas para auxiliar a decisão de paralelização pode otimizar a decisão e aumentar a performance.

Finalmente, a terceira hipótese foi retirada da observação dos resultados da primeira experiência. Através do uso de código escrito manualmente e código escrito pelo compilador nota-se que a grande diferença é o número de *Tasks* geradas pelo compilador comparado com o código escrito manualmente, sendo no primeiro caso muito mais elevado. Como se pode visualizar o código do compilador é mais lento comparado com o código manual. O número / dimensão das tarefas deve ser um ponto importante a investigar, pois para tarefas pequenas o *overhead* de criação e escalonamento de uma nova tarefa pode não compensar relativamente ao tempo que esta demora a executar. Uma possível implementação poderá ser a acoplação de

várias tarefas em uma só ou desagregação de uma tarefa em várias (fig. 15), fazendo assim variar o número e dimensão das tarefas.

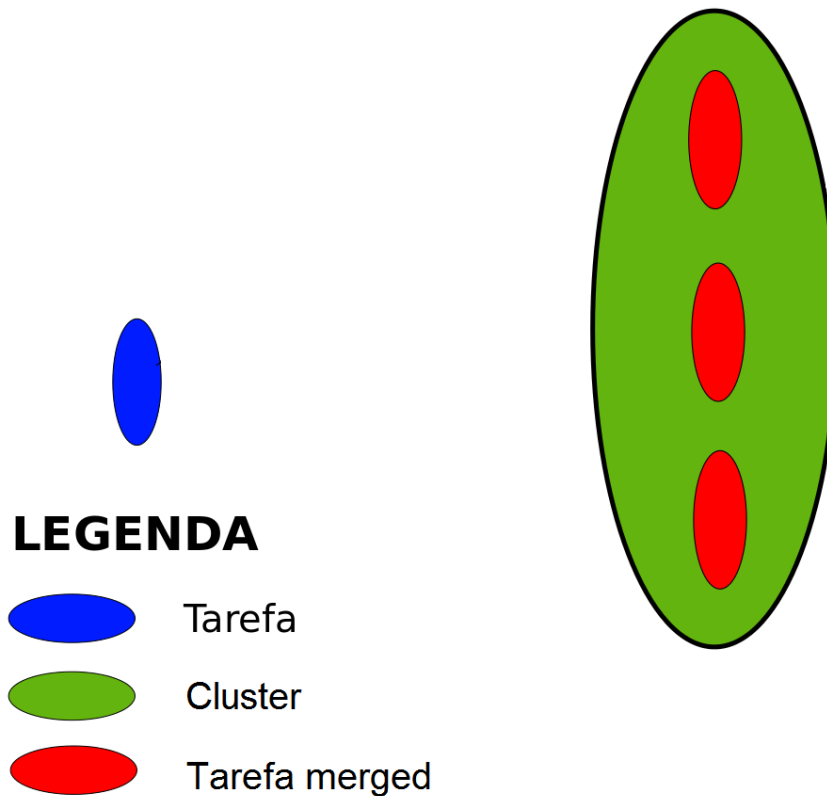


Fig. 15 - Cluster de tarefas

Em vez de se possuir várias tarefas, temos uma tarefa que engloba várias no seu interior. Esta solução poderá ajudar a diminuir o número de verificações e diminuir o *overhead* de escalonamento, sendo por isso uma hipótese a verificar se proporciona vantagens.

Capítulo

5 Otimização no escalonador

Neste capítulo é apresentada a primeira hipótese a investigar, abordagem utilizada e resultados obtidos.

5.1 Hipótese

Como primeira hipótese de investigação temos:

- Um escalonamento mais equilibrado das tarefas em execução trará melhorias na performance.

5.2 Abordagem

Visto detetar-se que a inserção de tarefas nas filas não era realizada de modo balanceado, implementou-se uma optimização no *scheduler* do *runtime* Aeminium. A optimização consistiu no varrimento das filas a inserir, na tentativa de encontrar uma fila vazia. Caso seja encontrada, adiciona-se a nova tarefa e envia-se um sinal para o *worker* iniciar imediatamente a sua execução. No caso de não se encontrar nenhuma fila vazia, a tarefa é inserida na fila do *worker* actual, tal como acontece na implementação original. Um exemplo do código inserido na função *scheduleTask()* da classe *BlockWorkStealingScheduler* é apresentado de seguida. Primeiro o código original e a seguir a optimização implementada.

```
/****** ORIGINAL *****/  
  
Thread thread = Thread.currentThread();  
  
/****** OPTIMIZER *****/  
Thread thread = null;  
int i;  
for (i = 0; i < maxParallelism; i++) {  
    if (numberOfTaskInWorkerQueue[i] < 1) {  
        thread = threads[i];  
        break;  
    }  
}  
if (thread == null) {  
    thread = Thread.currentThread();  
}  
/******
```

Como se pode observar, a utilização da *thread* corrente é apenas para o caso de não se encontrar nenhuma fila vazia. Para elucidar, o objecto *thread* observado no código é o *worker* que contém a fila na qual se pretende inserir a tarefa. Para se recolher o número de tarefas em fila no momento da inserção, foi adicionado um contador a cada fila –

numberOfTasksInWorkerQueue[], que é actualizado sempre que se adicionam ou retiram tarefas. Para esta hipótese existiam várias abordagens possíveis, tais como:

- Encontrar a fila com menos tarefas para inserir a nova tarefa;
- Encontrar a fila com menor peso total de tarefas para inserir a nova tarefa.

Contudo, verificou-se que estas abordagens trariam demasiado *overhead*, uma vez que era necessário a cada inserção fazer o varrimento de todas as filas e assim encontrar a fila com menos tarefas ou menor peso em fila. Para clarificar, o peso total seria a soma dos pesos de todas as tarefas em fila. Para conhecer os pesos das tarefas, recorria-se aos *Hints* anteriormente expostos. Transferindo a informação relativa ao tamanho das tarefas do compilador para o *runtime*. Na política implementada, o varrimento total aconteceria apenas no pior dos casos - “Se todas as filas estiverem vazias, para quê procurar a que tem menos tarefas?”, o que criaria menor peso computacional comparativamente com as duas abordagens sugeridas em cima.

5.3 Resultados

Nesta secção são apresentados os resultados obtidos para a validação da primeira hipótese proposta. Os resultados são apresentados em gráficos referentes aos tempos de execução e *speedup*. Foram utilizados os seguintes programas escritos manualmente

[<https://github.com/AEminium/AeminiumBenchmarks>]:

- Knapsack: Resolve o problema de Knapsack através de um algoritmo genético;
- Mergesort: Programa para ordenar *arrays*;
- Blackscholes: Programa para previsões de ativos da bolsa;
- Doall: Programa com ciclo sem dependências entre as iterações;
- Histogram: Programa para dar contraste em imagens;
- Pi: Programa para cálculo do pi usando o método de montecarlo;
- Kdtree: Programa para organização de pontos no espaço;
- MatrixMultiplication(matrix): Programa para multiplicação de matrizes.

O tempo de execução médio de trinta execuções para os programas anteriores com e sem optimização (fig. 16) mostram que a optimização do *scheduler* obteve um efeito positivo na performance do *runtime*.

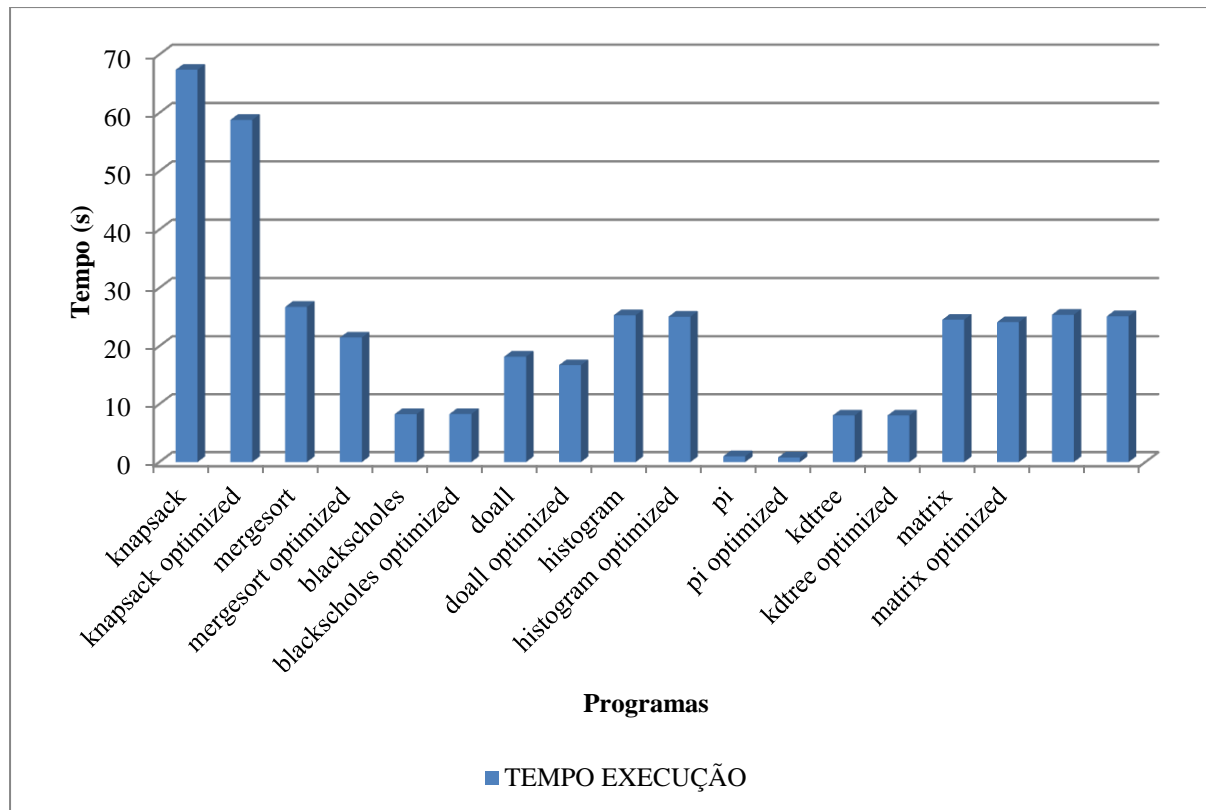


Fig. 16 - Tempo de execução com e sem otimização no scheduler

No eixo horizontal apresenta-se os programas em pares (original e otimizado) e no eixo vertical, o tempo de execução médio em segundos. O tempo de execução de alguns programas após a implementação da otimização, mostra resultados bastante interessantes, como é o caso do Knapsack, Mergesorte e pi com melhorias de performance entre os 13% (knapsack) e 20% (mergesort e pi). Nos restantes casos foi menos evidente ou quase nula, sendo que em nenhum dos casos a performance diminuiu. Através do gráfico do *speedup* (fig. 17) pode-se observar que tanto o mergesort como o pi obtiveram um *speedup* a rondar 1.25.

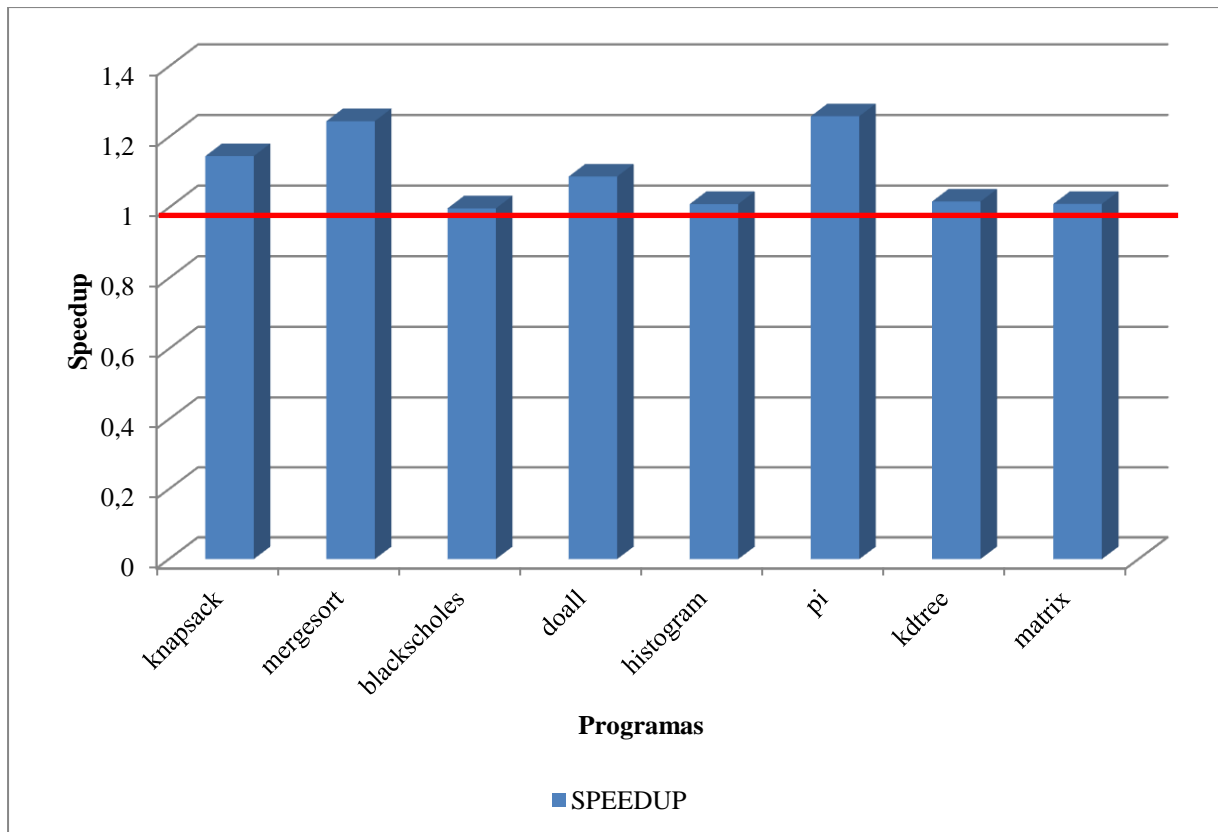


Fig. 17 - Speedup com e sem otimização no scheduler

No eixo horizontal são apresentados os programas experienciados e no eixo vertical o *speedup* obtido na otimização implementada em relação à versão sem otimização. Pode-se observar com detalhe que nenhum dos programas apresentou *speedup* inferior a um.

Capítulo

6 Otimização da decisão de paralelizar

Neste capítulo é apresentada a segunda hipótese a investigar, abordagem utilizada e resultados obtidos.

6.1 Hipótese

Como segunda hipótese de investigação temos:

- Modificar o nível de paralelismo entre as tarefas em execução de acordo com a carga e capacidade do sistema trará melhorias de performance.

6.2 Abordagem

A função `paralelize()` tem a seu cargo informar se o *runtime* deve paralelizar ou sequencializar o código. Clarificando, esta função tem como função decidir se é utilizado o código sequencial ou o código paralelo. O exemplo da utilização desta função no programa `kdtree` é exposto de seguida.

```
public void createSubTrees(final Point[] points, final int depth, Runtime
rt, Task parent) {
    int median = (points.length - 1) / 2;
    if (rt.parallelize())
        createSubTreesInPar(points, depth, rt, parent, median);
    else
        createSubTreesInSeq(points, depth, rt, parent, median);
}
```

Como se pode observar, caso a função devolva *true*, é chamado o código paralelo (`createSubTreesInPar()`), senão é chamado o seu código sequencial (`createSubTreesInSeq()`). Durante as primeiras experiências foi posto em dúvida se esta decisão não estaria demasiado simplista. Esta função baseava-se somente no tamanho de uma fila para tomar a decisão, o que em certos casos poderia levar a que esse *threshold* fosse atingido, mesmo existissem várias filas sem qualquer trabalho. Esta abordagem simplista poderia levar na maioria das vezes a opções inválidas de sequencialização. Como tentativa de resolução deste problema propôs-se as seguintes implementações:

1. Adicionar a verificação de todas as filas estarem ocupadas como condição para se sequencializar;
2. Adicionar a verificação de metade das filas estarem ocupadas como condição para se sequencializar;

3. Retirar o *threshold* e utilizar apenas a verificação de todas as filas estarem ocupadas como condição para se sequencializar.

Um exemplo da alteração efetuada na função `parallelize()` para o caso da segunda implementação é apresentado de seguida.

```
if (((WorkStealingThread) thread).getTaskQueue().size() >
parallelizeThreshold
    && scheduler.checkParallelize() == false) {
    return false;
} else {
    return true;
}
```

Como se pode visualizar foi adicionada a função `checkParallelize()` que retorna um *boolean*. Esta função retorna *false* caso existam menos de metade das filas vazias, de outro modo retorna *true*.

6.3 Resultados

Os tempos de execução médios obtidos de trinta execuções nas quatro implementações para verificar a segunda hipótese são apresentadas para os programas mergesort (fig. 18) e kdtree (fig. 19). Foram escolhidos para a validação desta hipótese os programas citados anteriormente, visto que do conjunto de programas existentes no benchmark [<https://github.com/AEminium/AeminiumBenchmarks>], eram os que recorriam à utilização da função `parallelize()` ou facilmente se modificavam para recorrer a essa utilização. Nas implementações com *threshold* foi utilizado o valor 3 (configuração default do runtime), isto quer dizer que só ocorre a sequencialização se o tamanho da fila for superior a este valor. De seguida são apresentados os resultados para o programa mergesort.

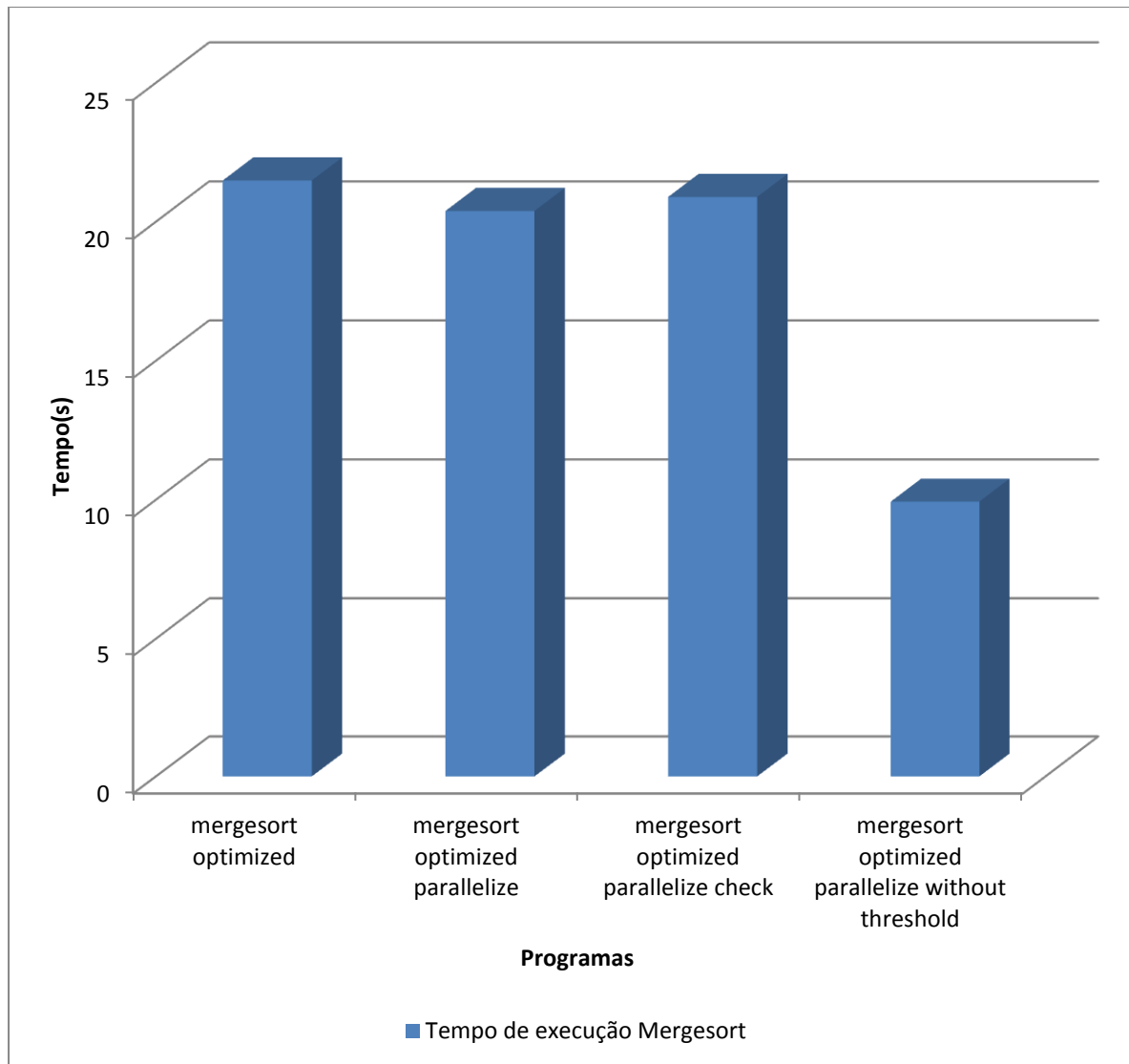


Fig. 18 - Mergesort com várias decisões de paralelizar

Como se pode observar existem quatro barras, cada uma referente a uma implementação (eixo horizontal):

- *mergesort otimizada*: versão do *runtime* com a otimização do *scheduler*;
- *mergesort otimizada paralelize*: função *paralelize* com verificação se todas as filas estão ocupadas e *threshold* ==3;
- *mergesort otimizada paralelize check*: função *paralelize* com verificação se pelo menos metade das filas estão ocupadas e *threshold* ==3;
- *mergesort otimizada paralelize without threshold*: função *paralelize* com verificação se todas as filas estão ocupadas e remoção do *threshold* das condições para paralelizar;

No eixo vertical é apresentado o tempo de execução médio em segundos. No mergesort todas as implementações obtiveram melhores resultados que a versão com o `parallelize()` implementada actualmente no *runtime*. Tendo melhorias de performance entre 3% a 55%. Seguidamente são apresentados os resultados para o programa kdtree.

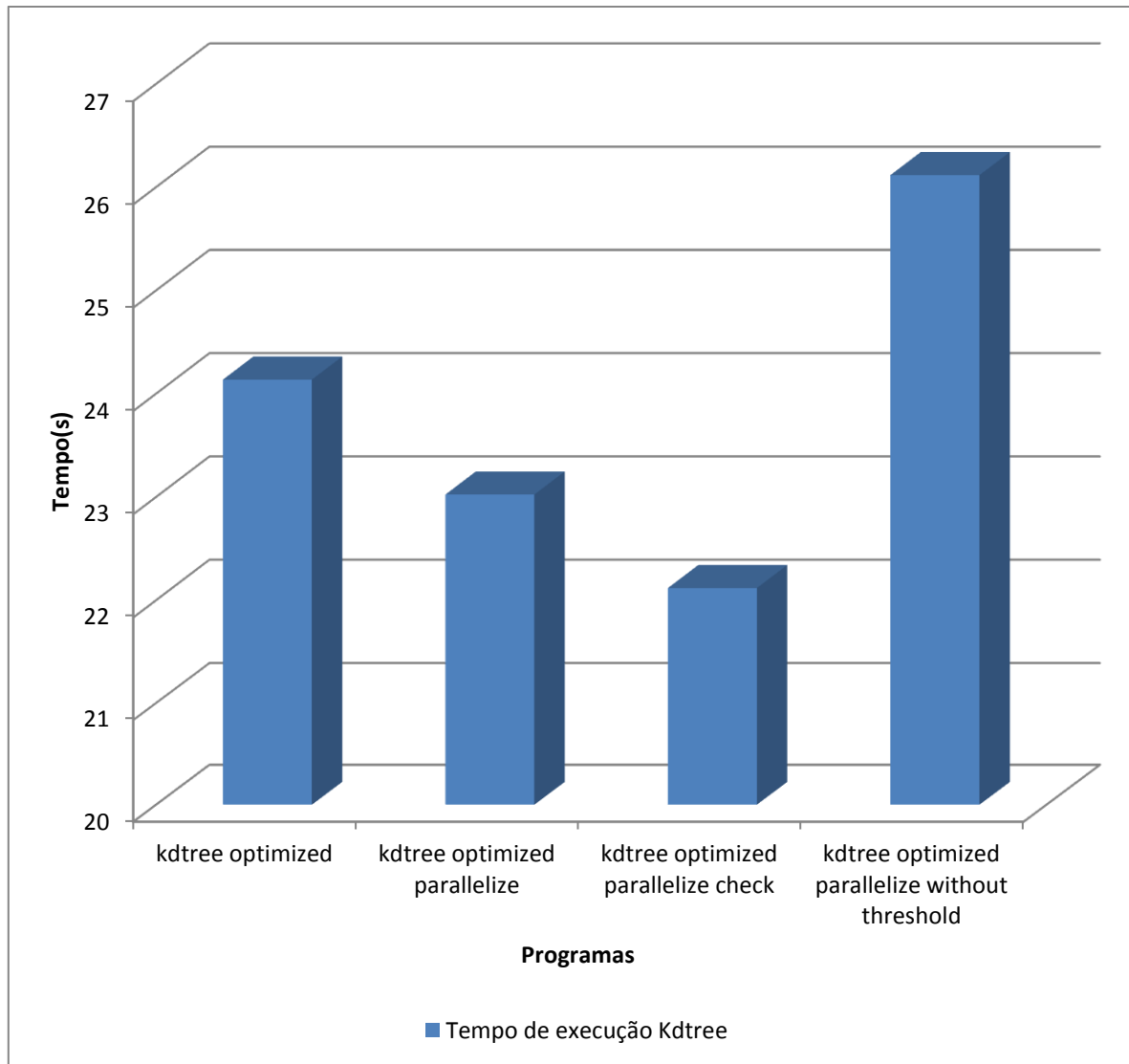


Fig. 19 - Kdtree com várias decisões de paralelizar

Novamente, são apresentadas as implementações experienciadas no eixo horizontal e o tempo de execução médio no eixo vertical. No kdtree pode-se verificar, que ao contrário do mergesort, a versão sem *threshold* é a que obtém piores resultados. No entanto, as outras duas implementações continuam a obter melhor *performance* que a implementação original, conseguindo melhorias até 9%. A implementação do *threshold* no kdtree poderá estar a influenciar a performance, na medida que protege a decisão de sequencializar não só quando este possui todas as filas ocupadas, mas também com um tamanho superior a três. A

sequencialização antecipada poderá levar à falta de tarefas, originando que alguns *workers* fiquem sem trabalho, diminuindo a paralelização e posteriormente a *performance*.

Capítulo

7 Módulo para efetuar agregação de tarefas

Neste capítulo é apresentada a terceira hipótese a investigar, abordagem utilizada e resultados obtidos.

7.1 Hipótese

Como terceira hipótese de investigação temos:

- O controlo da granularidade das tarefas em execução e, consequentemente, do número de tarefas a executar trará melhorias de performance.

7.2 Abordagem

O número e dimensão das tarefas poderão gozar de alguma influência na performance do *runtime* Aeminium. Como hipótese a este problema podemos fazer *merge* e *unmerge* de tarefas, diminuindo o número de tarefas escalonadas e por consequente o número de verificações. A arquitectura pensada para o módulo de efectuar *merge* e *unmerge* de tarefas é apresentada na figura 20.

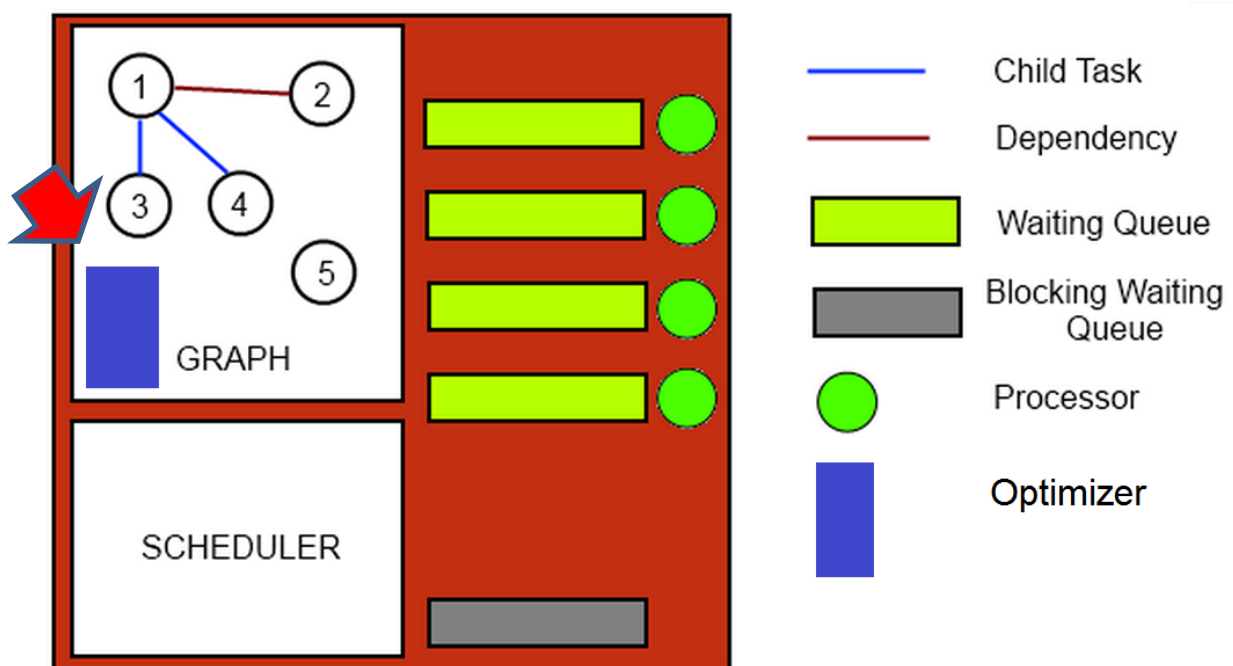


Fig. 20 - Arquitetura do runtime com otimizador

Como se pode observar, o módulo de optimização (*Optimizer*) foi adicionado ao Grafo. Inicialmente pensou-se fazer o *merge* nas filas de execução. Clarificando, a tarefa já se encontraria na fila de execução à espera de ser executada e caso verificasse certas condições

era efetuado o *merge* com uma nova tarefa. Em anexo (fig. 27) (fig. 28) é possível visualizar o diagrama de sequências desta possível implementação. Depois de analisada, esta implementação provou ter possíveis defeitos, tal como:

- Bloquear a execução de um *worker*: Durante o *merge* seria necessário efectuar *lock* à tarefa e caso fosse a única tarefa em fila o *worker* teria que aguardar que o *merge* finalizasse.

O funcionamento do módulo implementado consistiu em atrasar o escalonamento de uma tarefa se esta não possuísse tarefas filhas (informação recebida através dos *Hints*). Esta condição é necessária já que as tarefas filhas são lançadas em execução e perderíamos o controlo das dependências, caso efectuássemos um *merge* de duas tarefas que fossem dependentes uma da outra. Seguidamente, uma nova tarefa poderia efectuar o *merge* com a tarefa em espera caso existissem as seguintes condições:

- A tarefa em espera é a dependência da nova tarefa e possui apenas um dependente que é a nova tarefa;
- A nova tarefa não tem dependências.

Para implementar o *merge* das tarefas poderíamos recorrer às seguintes abordagens:

- *Lazy tasking merging*: ao adicionar uma tarefa ao *runtime*, verifica-se se existe possibilidade de a adicionar a uma já existente - cria-se um novo *body*, que é o conjunto dos *bodies* das duas e substitui-se o *body* da que se encontra à espera de executar por este novo *body*;
- *Body appending*: permitir adicionar mais *bodies* às tarefas já existentes, ter assim um *array* de *bodies* na tarefa.

Para esta implementação foi escolhida a primeira opção- *Lazy tasking merging*, pois não era necessário modificar a estrutura da *Task*. O exemplo da função *merge* de tarefas sem dependências é apresentado de seguida.


```
private boolean mergeTaskNoDependences(ImplicitTask taskParent,
    ImplicitTask itask) {

    Body bodyMerged = mergeBodies(taskParent.body, itask.body);
    itask.clusterTask = taskParent;
    itask.taskFinishedMerge(rt);

    taskParent.body = bodyMerged;
    taskParent.addMergedTask(itask);

    taskParent.updateTaskSize(itask);

    mergeTotal++;
    return true;
}
```

Como se pode observar, foi implementada uma função *mergeBodies*, que recebe como parâmetros os *bodies* das duas tarefas a efectuar *merge* e retorna um novo *body* que é a acoplação dos dois *bodies* fornecidos. Após o *merge* informa-se o *runtime* que a *task* acoplada terminou e adiciona-se essa *task* à lista de *tasks merged* no *cluster*. No final é efetuado um *update* ao tamanho do *cluster* através da função *updateTaskSize()*.

Após o *merge*, a tarefa *cluster* aguarda o seu escalonamento até que o seu tamanho alcance o valor estipulado (valor mínimo para efectuar *merge*). Esta situação pode ser visualizada no código seguinte.

```
if (mergeTaskNoDependences(tempTask, itask) == true) {
    if (tempTask.getTaskSize() > MERGE_NUMBER) {
        rt.scheduler.scheduleTask(tempTask);
    } else {
        tasksReadyToSchedule.add(tempTask);
    }
    return;
}
```

No caso apresentado a variável *MERGE_NUMBER* é o valor mínimo para efectuar *merge* e a lista *tasksReadyToSchedule* é onde a tarefa aguarda pelo seu escalonamento.

7.3 Resultados

Para efectuar a validação do módulo para efectuar *merge* de tarefas foi utilizado código gerado tanto de modo manual como pelo compilador. Foram utilizados os seguintes programas escritos de modo manual:

- Blackscholes;

- AeForPi (pi);
- MatrixMultiplication;
- Histogram;
- Knapsack.

Pelo compilador J2JPar:

- Doall.

A utilização dos programas existentes no *benchmark* foi limitada aos programas citados anteriormente, uma vez que estes eram os únicos que verificavam as condições para efectuar *merge* de tarefas. Foram feitas experiências com os programas escritos manualmente (fig. 21), retirando-se o tempo médio de trinta execuções, variando o valor mínimo para efectuar *merge* entre os valores 0 e 48.

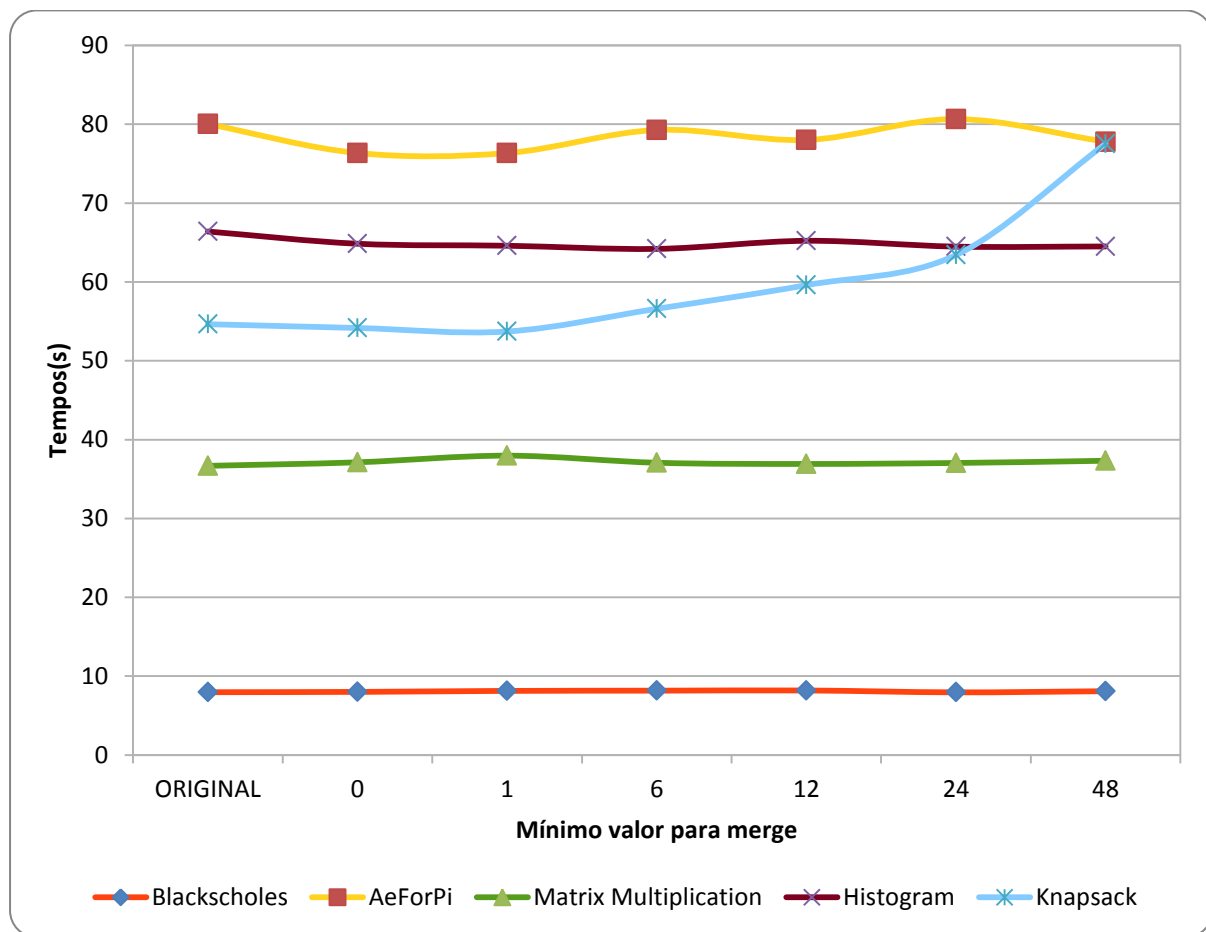


Fig. 21 - Variação do valor mínimo para efetuar merge em código manual

Com se observa, a variação do valor mínimo para efectuar *merge* não inflige qualquer modificação relevante na performance, sendo que para valores elevados a tendência é degradar-se, como é o caso do programa Knapsack. Por sua vez, as experiências com um programa gerado pelo compilador (fig. 22) apresentaram resultados positivos.

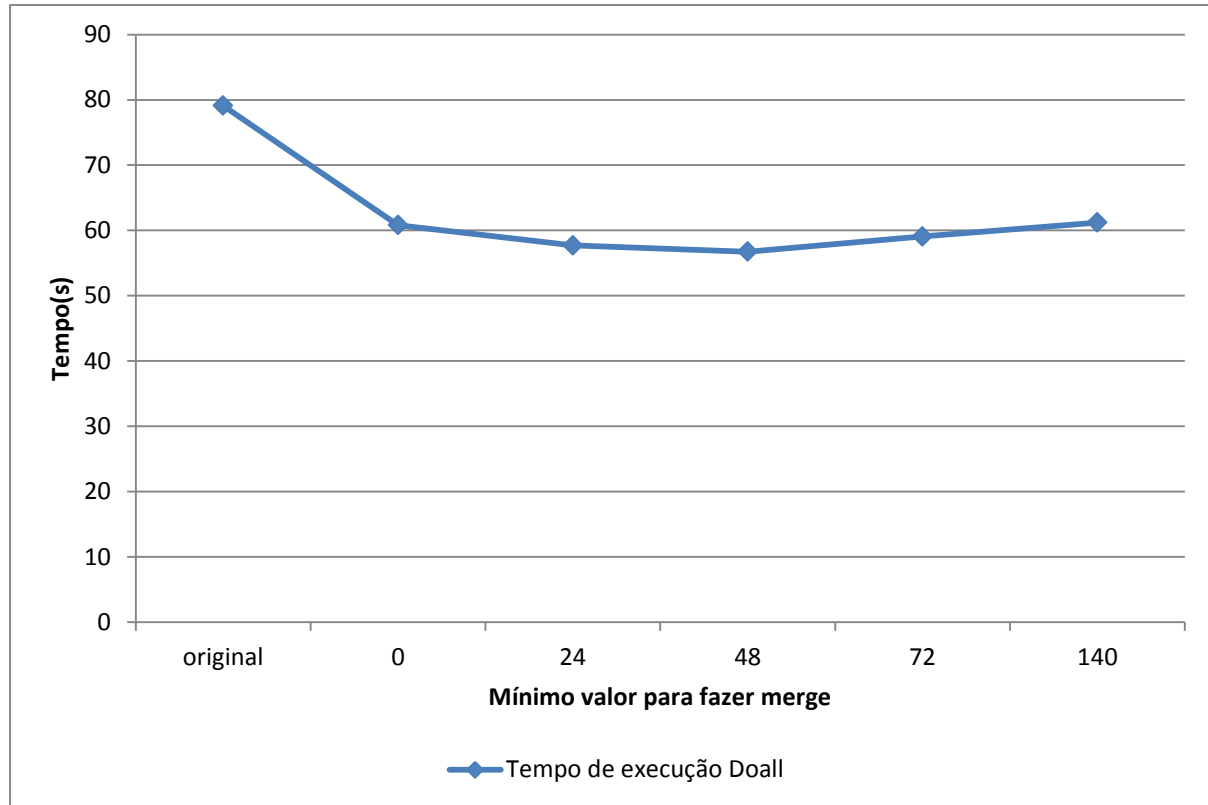


Fig. 22 - Variação do valor mínimo para efetuar merge em código gerado pelo compilador

Como se pode observar, existe um aumento de performance até *clusters* com 24 a 48 tarefas, sendo que a partir desse valor a performance começa a diminuir. O módulo de agregação de tarefas mostrou-se vantajoso para o programa Doall, conseguindo melhorias na ordem dos 30%, com desvio padrão entre 1.79 (valor min 0) e 13.77 (valor min 140). As razões para esta melhoria poderão ser o resultado da diminuição do número de tarefas e por consequência o número de escalonamentos.

Capítulo

8 Plano de trabalhos e implicações

Neste capítulo é descrito o planeamento para a elaboração deste estágio através de um diagrama de *Gantt*, uma breve descrição do funcionamento do estágio e a apresentação da equipa Aeminium Coimbra.

8.1 Planeamento e metodologias

A metodologia usada para o desenvolvimento do projeto foi baseado em princípios dos métodos ágeis. Marcando-se reuniões semanais onde se analisa o estado das metas, reestruturação das metas e delineação de novas metas. Para a gestão do projeto foi usado o Redmine, onde se marcavam as novas tarefas, *deadlines* e estado de progresso das mesmas.

8.1.1 Planeamento anual

Durante o primeiro semestre houve uma maior incidência no estudo relativo ao estado da arte do tema a investigar, ou seja, da programação paralela e otimizações ao nível do *runtime*, através de uma consulta bibliográfica intensiva. Ao mesmo tempo, foi um período dedicado a uma ambientação/adaptação da *framework* Aeminium, onde foi possível a realização de várias experiências na tentativa de identificar possíveis questões relacionadas com a performance do *runtime* Aeminium. O segundo semestre foi dedicado à implementação das hipóteses de resolução das questões geradas e validação com programas reais. A figura seguinte apresenta o planeamento inicialmente previsto. Sendo na realidade, adicionada mais uma hipótese de optimização à planificação inicialmente proposta.

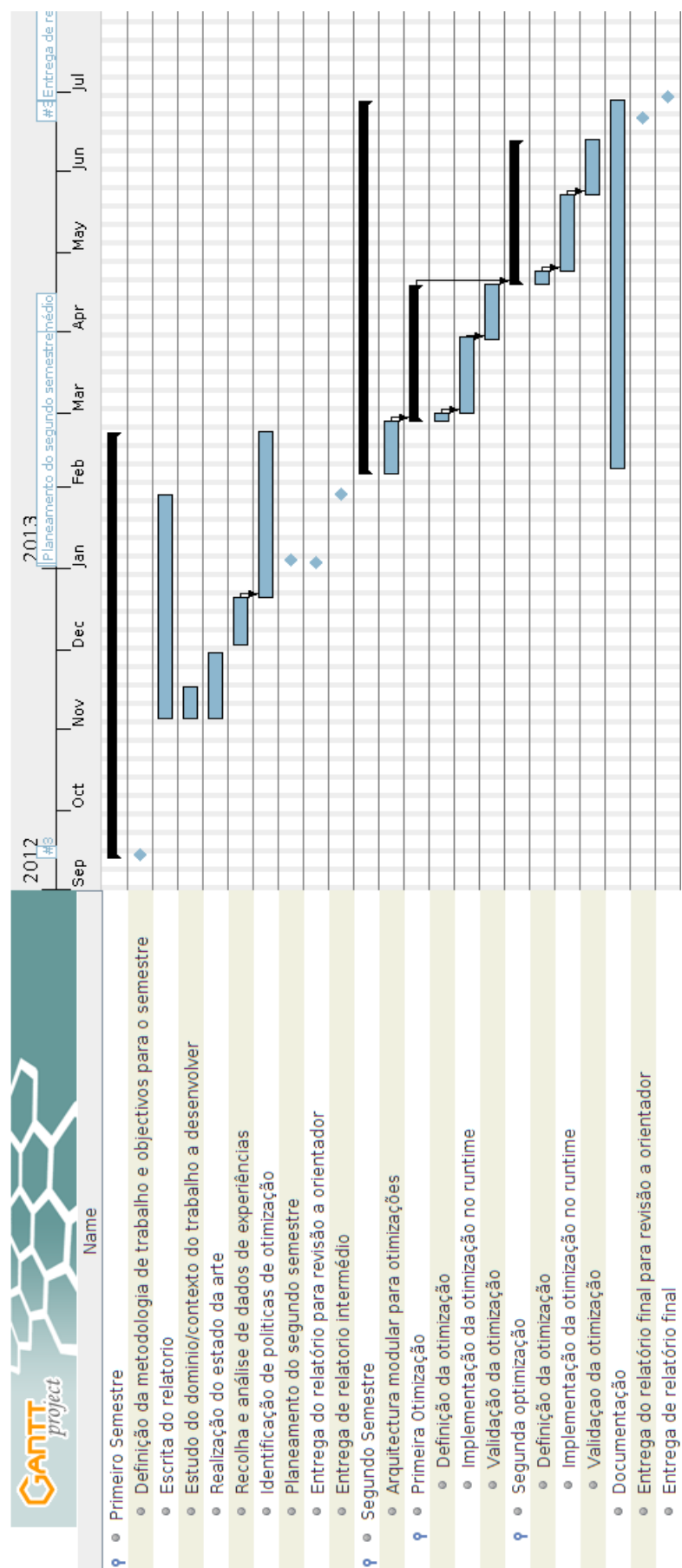


Fig. 23 - Diagrama de Gantt anual

8.2 Equipa

A equipa liderada pelo Professor Doutor Bruno Cabral é constituída pelos seguintes elementos:

- Mestre Alcides Fonseca;
- Eng.º João Rafael – Compilador Aeminium;
- Eng.º Marcelo Sousa – Tratamento de excepções;
- Eng.º Pedro Costa – Compilador Aeminium;
- Eng.º Cristiano Gonçalves – *runtime* Aeminium.

8.3 Riscos

Este projecto, sendo um estágio de investigação podia sofrer de vários riscos que poderiam influenciar a concretização dos seus objectivos. Como se partia do princípio do uso de experiências, para obter-se os resultados a partir dos quais se criavam as políticas a implementar no módulo de optimização do *runtime* Aeminium. Caso as experiências não fornecessem dados favoráveis poderíamos entrar numa procura sem fim definido. Por outro lado, mesmo chegando a políticas viáveis, poderia ainda existir alguma dificuldade de transpor as regras para um módulo capaz de optimizar o código em tempo de execução. Depois de implementadas as políticas, existiu a necessidade de mais programas de teste, no entanto seria impraticável passar o estágio a reescrever código sequencial para código paralelo. Ao nível do código gerado pelo compilador, devido às suas atuais limitações, tais como:

- Não se pode usar variáveis globais;
- Não se pode usar várias classes no mesmo ficheiro;
- Inicialmente não suportava ciclos for, este suporte foi adicionado recentemente;
- Não se pode usar variáveis na declaração do for;
- Não faz tratamento de excepções.

É quase impossível compilar um programa de uso geral, sem que se tenha de fazer grandes alterações no código a compilar. Esta situação, levou a uma escassez de experiências com código gerado pelo compilador.

Capítulo

9 Conclusão

Neste capítulo são expostas as conclusões relativas ao estágio – “*Runtime Optimization of Programs for the Aeminium Platform*”. Este estágio tinha como objectivos compreender os problemas de performance aquando da execução de programas paralelos no *runtime* Aeminium. Através de uma primeira série de experiências e da implementação de um *profiler* foram retiradas três hipóteses para investigação. Uma relacionada com o escalonamento de tarefas, outra sobre a decisão de paralelização e a última em relação ao número e tamanho de tarefas.

Para a primeira hipótese foi proposta a utilização de um escalonamento mais equilibrado para melhorar a performance. A implementação de um escalonamento em varrimento de modo a detetar uma fila vazia para inserir a nova tarefa, provou ser melhor opção comparativamente com a implementação de escalonamento aleatória utilizada no *runtime* Aeminium. A implementação utilizada atingiu aumentos de performance até 20% nalguns casos, sendo que em nenhum dos casos apresentou decréscimo de performance. Uma das possíveis razões para esta melhoria é a activação imediata de *workers* que estavam parados - *parked*. Um *worker* sem trabalho e com a sua fila vazia “acorda” por períodos de tempo consecutivos para tentar “roubar” trabalho aos *workers* vizinhos. Caso a inserção seja efetuada directamente nestes *workers*, é possível que se antecipe a sua activação e como consequência melhora-se a performance. Além disso a implementação utilizada pelo *runtime* Aeminium apresentava um elevado número de *steals*. Recorrendo ao *profiler* implementado, verificou-se que após a optimização, o número de tarefas inseridas por *worker* era efetuada de modo mais distribuído e o número de *steals* diminuía.

Na segunda hipótese foi sugerida a utilização da informação do tamanho de todas as filas para auxiliar a decisão de paralelização. Foram utilizados os programas mergesort e kdtree, obtendo-se resultados interessantes, mas de modo diferente para cada um dos programas. No kdtree a melhor performance foi atingida com a verificação da condição: pelo menos metade das filas se encontrar vazias de modo a se optar pela sequencialização. Com esta implementação atingiu-se melhorias de performances até 9%. Já no mergesort a máxima performance é alcançada com a remoção do *threshold* referente ao tamanho da fila e utilizando apenas a verificação da condição: todas as filas possuem tarefas para a decisão de sequencializar. Nesta implementação obtiveram-se melhorias de performance até 55%. Estes resultados apresentam-nos a relevância da utilização da informação relativa ao estado de

todas as filas e não apenas de uma. No entanto a utilização do *threshold* mostrou resultados completamente opostos para os dois programas, sendo um importante ponto a investigar.

Por último, propôs-se a implementação de um módulo para efectuar *merge* de tarefas. Foram efetuadas experiências variando o número mínimo de tarefas no *Cluster* com código gerado manualmente e com código gerado pelo compilador. Os resultados para o código gerado manualmente não mostraram resultados relevantes, no entanto para o código gerado pelo compilador, estes mostraram-se positivos, alcançando melhorias de performance até 30%. Esta heterogeneidade nos resultados poderá ser explicada pelo modo como o código é escrito. Visto que o código gerado pelo compilador tem tendência a possuir muito mais tarefas e dependências que o mesmo código escrito manualmente.

Capítulo

10 Trabalho futuro

No que respeita a trabalho futuro que possa ser realizado no Aeminium Runtime, recomendo algumas hipóteses que podem vir a dar resultados positivos. De seguida exponho algumas dessas hipóteses.

O modo como se efetua o *schedule* das tarefas possui uma razoável influência na performance do runtime Aeminium. A abordagem utilizada nesta investigação baseou-se apenas no uso da informação relativa à detecção de uma fila sem qualquer tarefa, com um varrimento da primeira fila em diante. Uma vez que o algoritmo utilizado é uma espécie de “*brute force*”, seria interessante estudar um algoritmo de detecção de filas vazias mais complexo que o utilizado.

Relativamente à optimização da decisão de paralelização ou sequencialização de código, além da informação relativa ao estado de cada fila, seria interessante utilizar informação do sistema para auxiliar a decisão. O sistema possui imensas variáveis que nos podem fornecer indicações acerca da carga a que este está sujeito. Com esta abordagem poderíamos, por exemplo, no caso de alguns processadores estarem com uma taxa de utilização baixa, optar pela decisão de paralelização. A utilização de um *threshold* referente ao tamanho da fila é também um importante ponto a investigar, visto os resultados mostrarem-se bastante heterogéneos. Tendo a natureza dos programas alguma influência na condição e valor a utilizar.

A implementação de um módulo para efectuar *merge* de tarefas obteve melhorias de performance significativas. Mas, devido às limitações impostas nas condições de efectuar *merge*, as experiências em código gerado pelo compilador ficou um pouco limitada. Sendo uma possível implementação, a remoção da condição da tarefa não possuir filhos. Sem esta condição o número de *merges* iria aumentar substancialmente, podendo advir um aumento de performance. A remoção desta condição pode tornar-se complexa devido á gestão de dependências que esta necessitará. Razão pela qual, no tempo disponível neste estágio não foi possível implementar.

Referências

- [1] Sven Stork, “Concurrent Programming via Access Permissions”, Departamento de Eng^a Informática, Faculdade de ciências e tecnologias, Universidade de Coimbra, 25 de Setembro 2009.
- [2] Toshio Sukanuma, “Design and Evaluation of Dynamic Optimizations for a Java Just-In-Time Compiler”, 2007.
- [3] Stefan Hepp, “Optimizing Java ByteCode for Embedded Systems”, Instituto de Informática, Universidade Técnica de Viena, 24 de Fevereiro de 2009.
- [4] Website. proguard.sourceforge.net
- [5] Raja Vallé-Rai, “Soot – a Java Bytecode Optimization Framework”, Sable Research Group, School of Computer Science; McGill University.
- [6] Website. www.cs.purdue.edu/homes/hosting/bloat
- [7] Thomas Fahringer, “Estimating and optimizing performance form Parallel Programs”, Institute for Software Technology and Parallel Systems, University of Vienna, November 1995.
- [8] Alcides Fonseca, “AeminiumGPU – A CPU_GPU Hybrid Runtime for the Aeminium Language”, Departamento de Eng^a Informática, Faculdade de ciências e Tecnologia, Universidade de Coimbra, 31 de Agosto de 2011.
- [9] Rober D. Blufmofe, Charles E. Leiserson, “Scheduling Multithreaded Computations by Work Stealing”, The University of Texas at Austin, MIT Laboratory for Computer Science.
- [10] Brice Dobry, “Work Stealing in Multiprogrammed Environments”, Department of Computer & Information Sciences, University of Delaware.
- [11] docs.oracle.com/cd/E13150_01/jrockit_jvm/geninfo/diagnos/underst_jit.html
- [12] Kazuaki Ishizaki, “Effectivness of Cross-Platform Optimizations for a Java Just-in-Time Compiler”, IBM Research, Tokyo Research Laboratory, Japan, October 2003.
- [13] Anderson Faustino da Silva, Vitor Santos Costa, “Our Experiences with Optimizations in Sun’s Java Just-in-Time Compilers”, Universidade Federal do Rio de Janeiro, 2006.
- [14] Vitor Pankrati, Ali_Reza, Adl-Tabatabai, Walter Tichy, “Fundamentals of multicore Software development”, Chapman & Hall/CRC, 20012.
- [15] Easwaran Raman, Guilherme Ottoni, Aurun Raman, Matthew J. Bridges, Davidl. August, “Parallel-Stage Decoupled Software Pipelining”, Departments of Computer Science and Electrical Engineering, Princeton University, April, 2008.
- [16] Keith D. Cooper and Li Xu, “Static Removal of Redundant Loads”, Department of Computer Science, Rice University, Houston, Texas, USA.

- [17] Nurudeen A.Lameed and Laurie Hendren, “A Modular Approach to On-Stack Replacement in LLVM”, Sable Technical Report NO. sable-2012-01-rev2, mcgill, November 22, 2012.
- [18] Andrew S. Tanenbaum, Hans van Staveren, Johan w. Stevenson, “Using Peephole Optimization on Intermediate Code”, Vrije Universiteit, Amsterdam, The Netherlands, January, 1982.
- [19] Elena Machkasova, Kevin Arhelger, Fernado Trinciante, “The Observer Effect of Profiling on Dynamic Java Optimizations”, University of Minnesota, Morris, October 2009.
- [20] Joel H. Saltz, Ravi Mirchandaney, “The Preprocessed Doacross Loop”, Institute for computer applications in science and engineering, NASA Langley, Reseach center, Hamptom, Virginia 23665, May, 1990.
- [21] Raghavan Raman, “Compiler Support for Work-Stealing Parallel Runtime Systems”, Rice University, Houston, Texas, May 2009.
- [22] Manuel Mohr, “Aeminium Compilation Theory in the Context of the Plaid Language”, Department of Informatics, Karlsruhe of technology, February 24, 2011.
- [23] “The Aeminium Infrastructure Design”, The Aeminium Project, April 12, 2010.
- [24] Yuan-Fu Sheiue, Wei-Cheng Chen, Ching-Huan Lee, Peng-Sheng Chen, “A practical Software-based Programming Model for Thread-level Speculation”, Department of Computer Science and Information Engineering , National Chung Cheng University, Chia-Yi, Taiwan, May 3, 2012.
- [25] J. Gregory Steffan and Todd C. Mowry, “The Potencial for Using Thread-level Data Speculation to facilitate Automatic Parallelization”, Department of Computer Science, Carnegie Mellon University.
- [26] Aart J.C., Juan E. Villacis and Dennis B. Gannon, “Javar Manual (version 1.3BETA), Computer science department, Indiana University, Lindley Hall 215, Bloomington, Indiana 47405-4101, USA.
- [27] Feng Liu, “Introduction to Cilk Programming”, COS597C.
- [28] ObjectAid UML Explorer for Eclipse . <http://www.objectaid.com>. [acedido em 27/02/2013]
- [29] SISAL programing language, <http://www2.cmp.uea.ac.uk>. [acedido em 21/05/2013]

Anexos

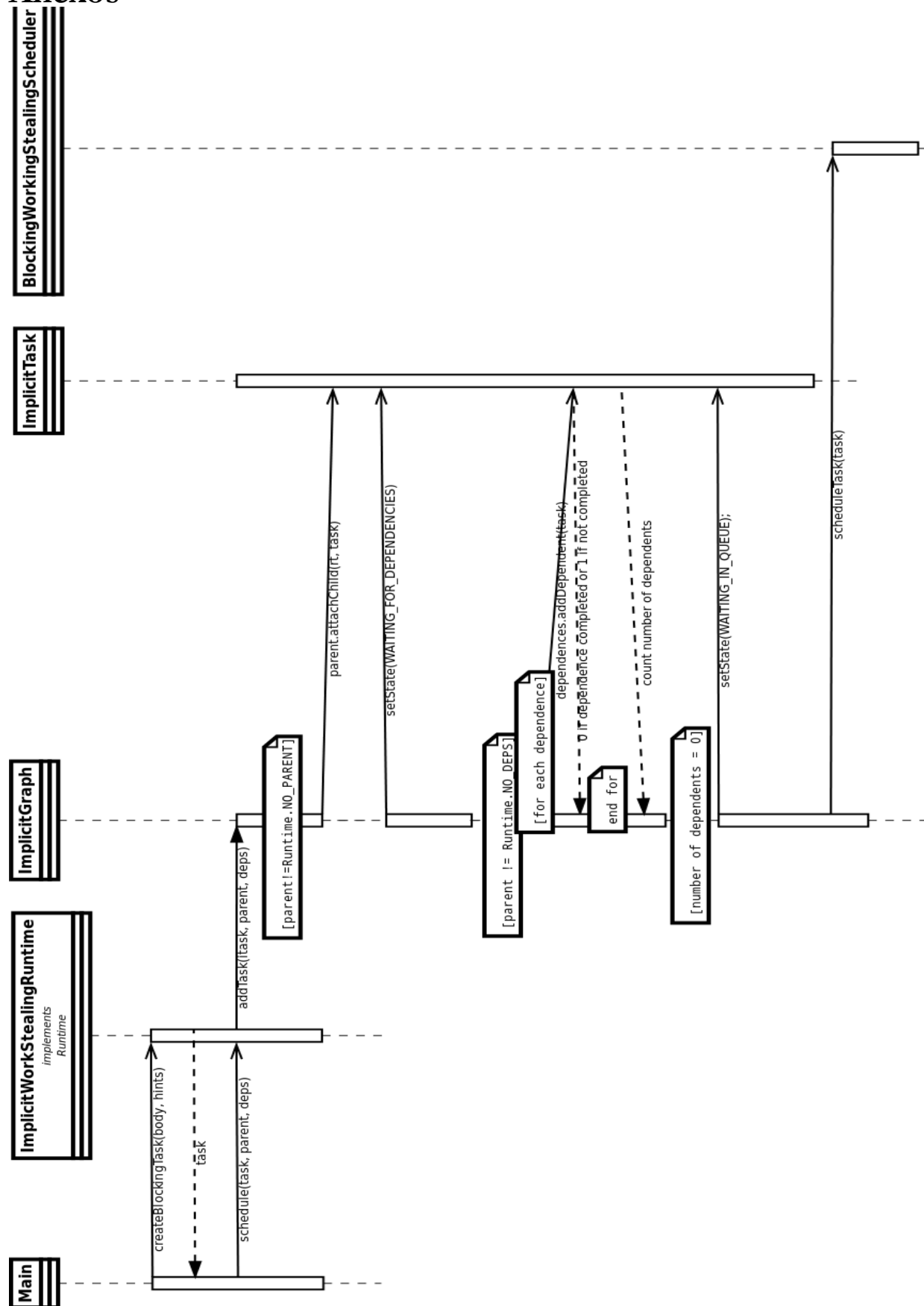


Fig. 24 - Diagrama de sequência antes do escalonamento da tarefa

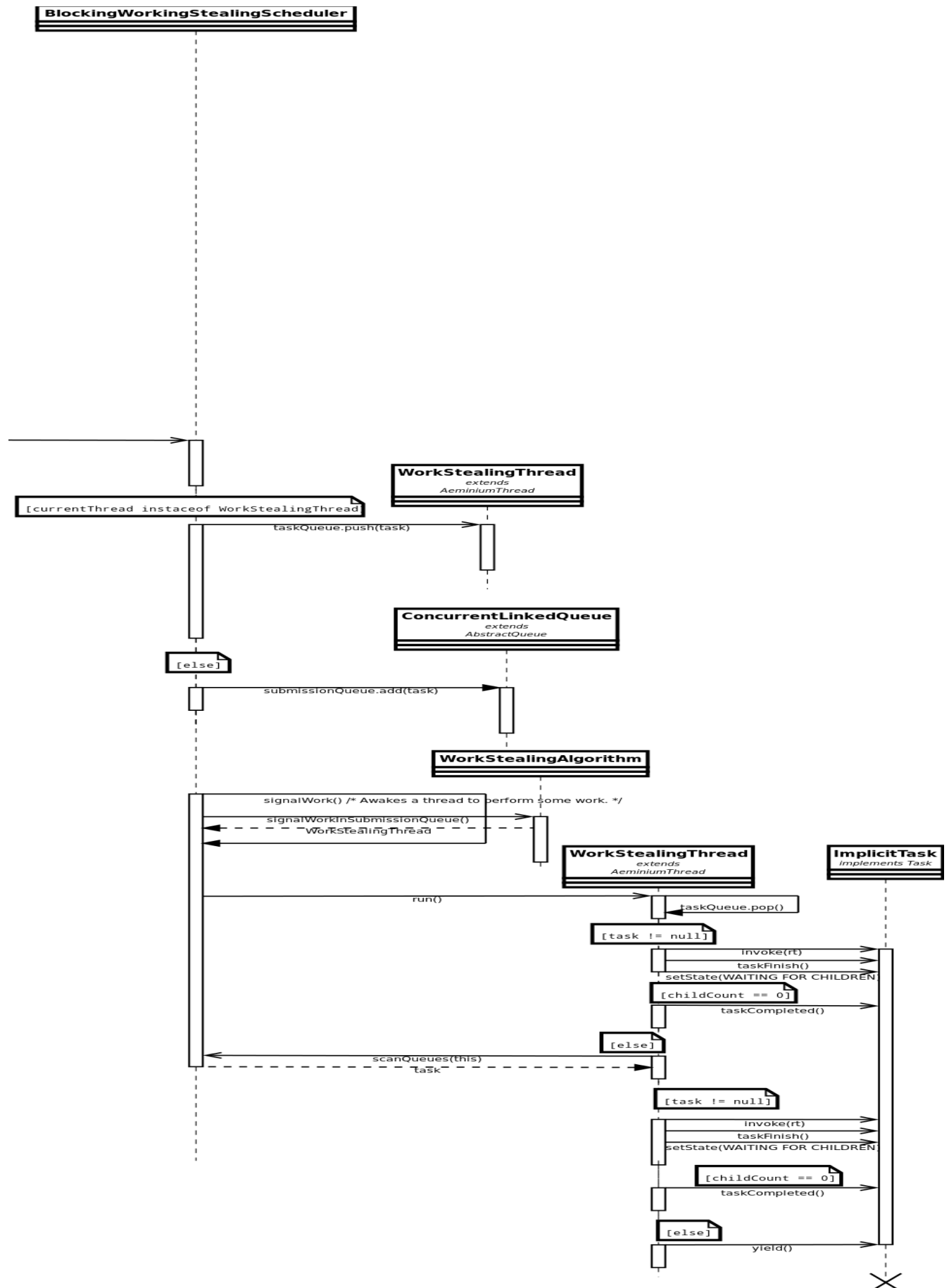


Fig. 25 - Diagrama de sequência depois do escalonamento da tarefa

Relatório Final – Otimização de programas em runtime na plataforma Aeminium

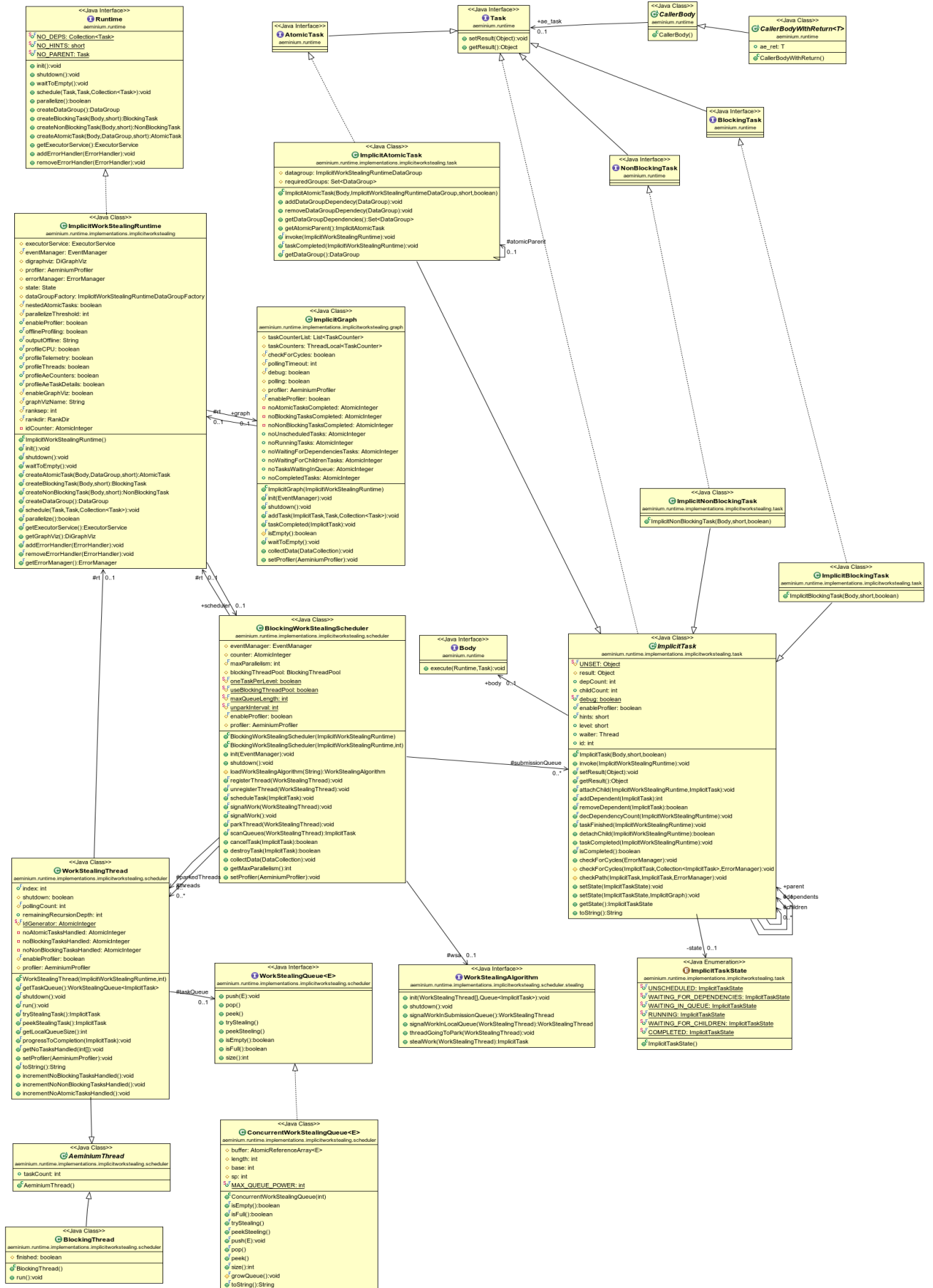


Fig. 26 - Diagrama de classes do Aeminium Runtime

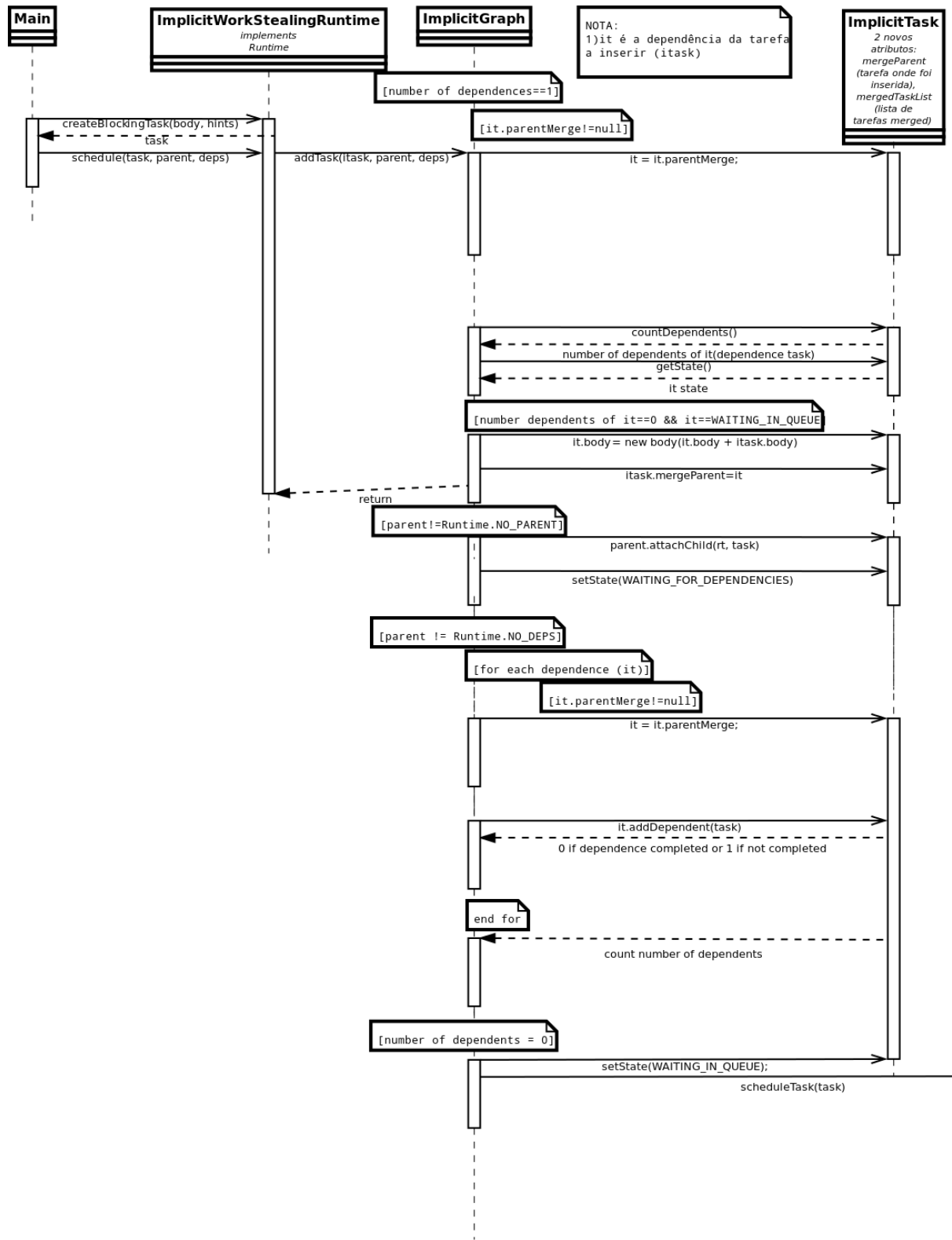


Fig. 27 - Diagrama de sequência antes do escalonamento da tarefa (otimização com falhas)

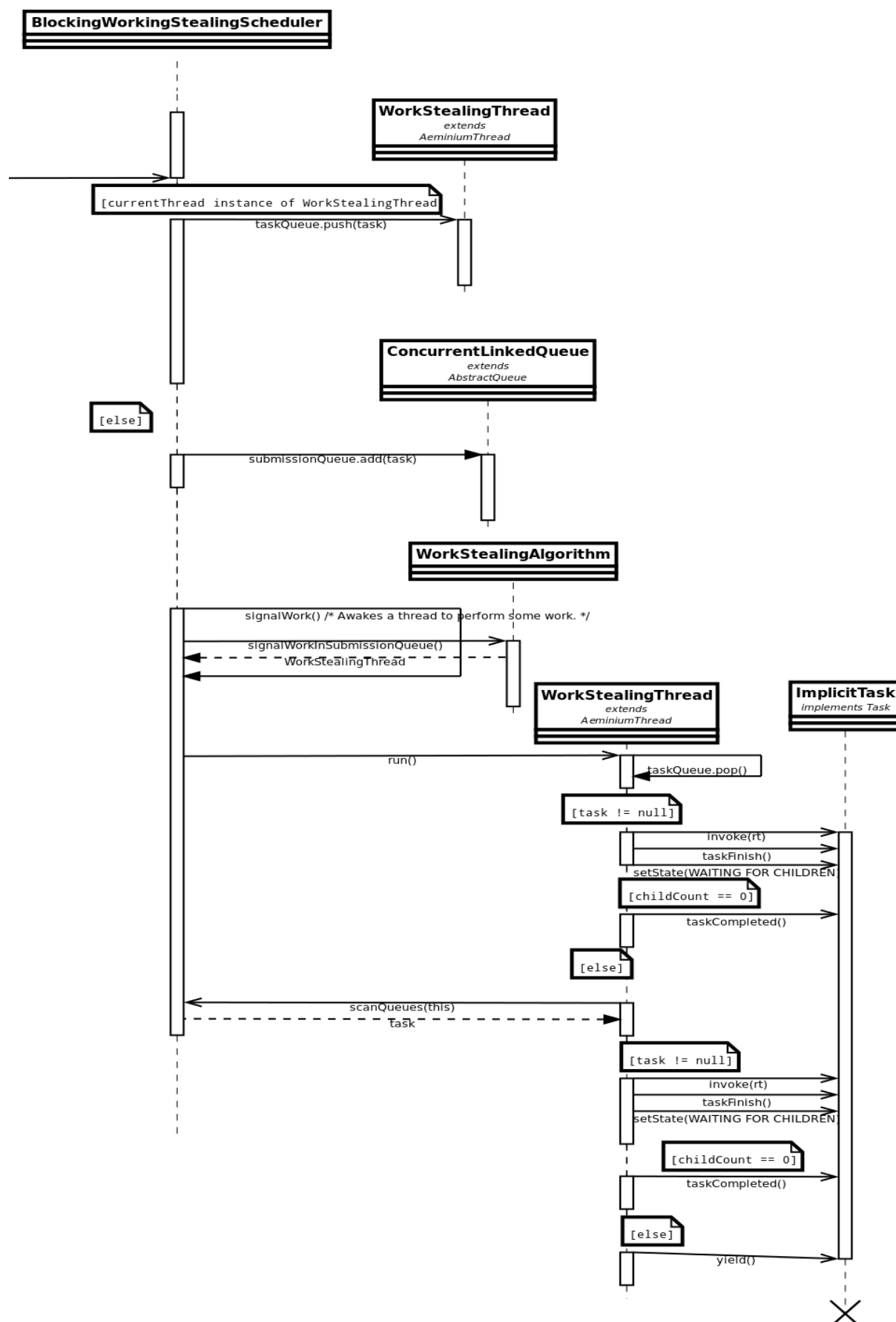


Fig. 28 - Diagrama de sequência depois do escalonamento da tarefa (otimização com falhas)


```

*****STATISTICS BY WORKER*****
TOTAL TASKS PERFORMED: 28400.0
workerId0: 596(2.1%) | workerId1: 1016(3.58%) | workerId2: 553(1.95%) | workerId3: 607(2.14%) | workerId4: 340(1.2%) | workerId5:
275(0.97%) | workerId6: 290(1.02%) | workerId7: 758(2.67%) | workerId8: 1012(3.56%) | workerId9: 1717(6.05%) | workerId10:
1007(3.55%) | workerId11: 1113(3.92%) | workerId12: 705(2.48%) | workerId13: 822(2.89%) | workerId14: 481(1.69%) | workerId15:
298(1.05%) | workerId16: 74(0.26%) | workerId17: 8305(29.24%) | workerId18: 3100(10.92%) | workerId19: 1680(5.92%) | workerId20:
871(3.07%) | workerId21: 522(1.84%) | workerId22: 1450(5.11%) | workerId23: 808(2.85%) |
TOTAL STEALS PERFORMED BY WORKER: 27908.0
workerId0: 567(2.03%) | workerId1: 981(3.52%) | workerId2: 540(1.93%) | workerId3: 586(2.1%) | workerId4: 340(1.22%) | workerId5:
266(0.95%) | workerId6: 290(1.04%) | workerId7: 738(2.64%) | workerId8: 995(3.57%) | workerId9: 1689(6.05%) | workerId10:
987(3.54%) | workerId11: 1084(3.88%) | workerId12: 698(2.5%) | workerId13: 812(2.91%) | workerId14: 465(1.67%) | workerId15:
293(1.05%) | workerId16: 72(0.26%) | workerId17: 8228(29.48%) | workerId18: 3037(10.88%) | workerId19: 1640(5.88%) | workerId20:
857(3.07%) | workerId21: 518(1.86%) | workerId22: 1432(5.13%) | workerId23: 793(2.84%) |
TOTAL OF NO STEALS PERFORMED BY WORKER: 492.0
workerId0: 29(5.89%) | workerId1: 35(7.11%) | workerId2: 13(2.64%) | workerId3: 21(4.27%) | workerId4: 0(0%) | workerId5: 9(1.83%)
| workerId6: 0(0%) | workerId7: 20(4.07%) | workerId8: 17(3.46%) | workerId9: 28(5.69%) | workerId10: 20(4.07%) | workerId11:
29(5.89%) | workerId12: 7(1.42%) | workerId13: 10(2.03%) | workerId14: 16(3.25%) | workerId15: 5(1.02%) | workerId16: 2(0.41%) |
workerId17: 77(15.65%) | workerId18: 63(12.8%) | workerId19: 40(8.13%) | workerId20: 14(2.85%) | workerId21: 4(0.81%) |
workerId22: 18(3.66%) | workerId23: 15(3.05%) |
TASK ID SEQUENCE BY WORKER:
workerId0: 0,4,295,296,297,300,310,309,...
TASK TYPE ID SEQUENCE BY WORKER:
workerId0: 1,1,2,2,2,3,4,4,4,4,2,2,4,5,2,4
TOTAL OF TASKS INSERTED BY WORKER QUEUE: 28299.0
workerId0: 890(3.14%)
workerId1: 611(2.16%)
workerId2: 847(2.99%)
workerId3: 49(0.17%)
workerId4: 279(0.99%)
workerId5: 284(1%)
workerId6: 267(0.94%)
workerId7: 1117(3.95%)
workerId8: 2430(8.59%)
workerId9: 1454(5.14%)
workerId10: 1099(3.88%)
workerId11: 868(3.07%)
workerId12: 551(1.95%)
workerId13: 559(1.98%)
workerId14: 285(1.01%)
workerId15: 17(0.06%)
workerId16: 7000(24.74%)
workerId17: 3617(12.78%)
workerId18: 2074(7.33%)
workerId19: 880(3.11%)
workerId20: 44(0.16%)
workerId21: 1399(4.94%)
workerId22: 858(3.03%)
workerId23: 820(2.9%)
*****STATISTICS BY TASK TYPE*****
TOTAL OF TASKS BY TYPE: 28400.0
typeId1: 100(0.35%) | typeId2: 10000(35.21%) | typeId3: 100(0.35%) | typeId4: 9000(31.69%) | typeId5: 9000(31.69%) | typeId6:
100(0.35%) | typeId7: 100(0.35%) ...
TOTAL OF DEPENDENTS (id) BY TASKS TYPE: 1253.0
typeId2: 3 dependents -> id [17220][20604][28218](0.24%) ...
typeId3: 1150 dependents -> id [301][302][303][304][305][306][307][308][309][310][583][865][1147][1429][1711][1993]...
typeId5: 1 dependents -> id [25015](0.08%) |
typeId7: 99 dependents -> id [101][102][103][105][107][109][111][113][114][116][118][120][122]...
typeId2: 3 dependents -> typeId [3][3][3](0.24%) |
typeId3: 1150 dependents -> typeId [4][4][4][4][4][4][4][4][4][4][4][4][4]...
typeId5: 1 dependents -> typeId [6](0.08%) |
typeId7: 99 dependents -> typeId [7][7][7][7][7][7][7][7][7][7][7][7][7][7][7][7][7][7][7][7]...
*****STATISTICS BY QUEUE TYPE*****
TOTAL OF TASKS BY QUEUE: 28400.0
taskQueue: 492 | stealQueue: 27908 | executed: 0

```

Fig. 29 - Output do profiler implementado no Aeminium Runtime